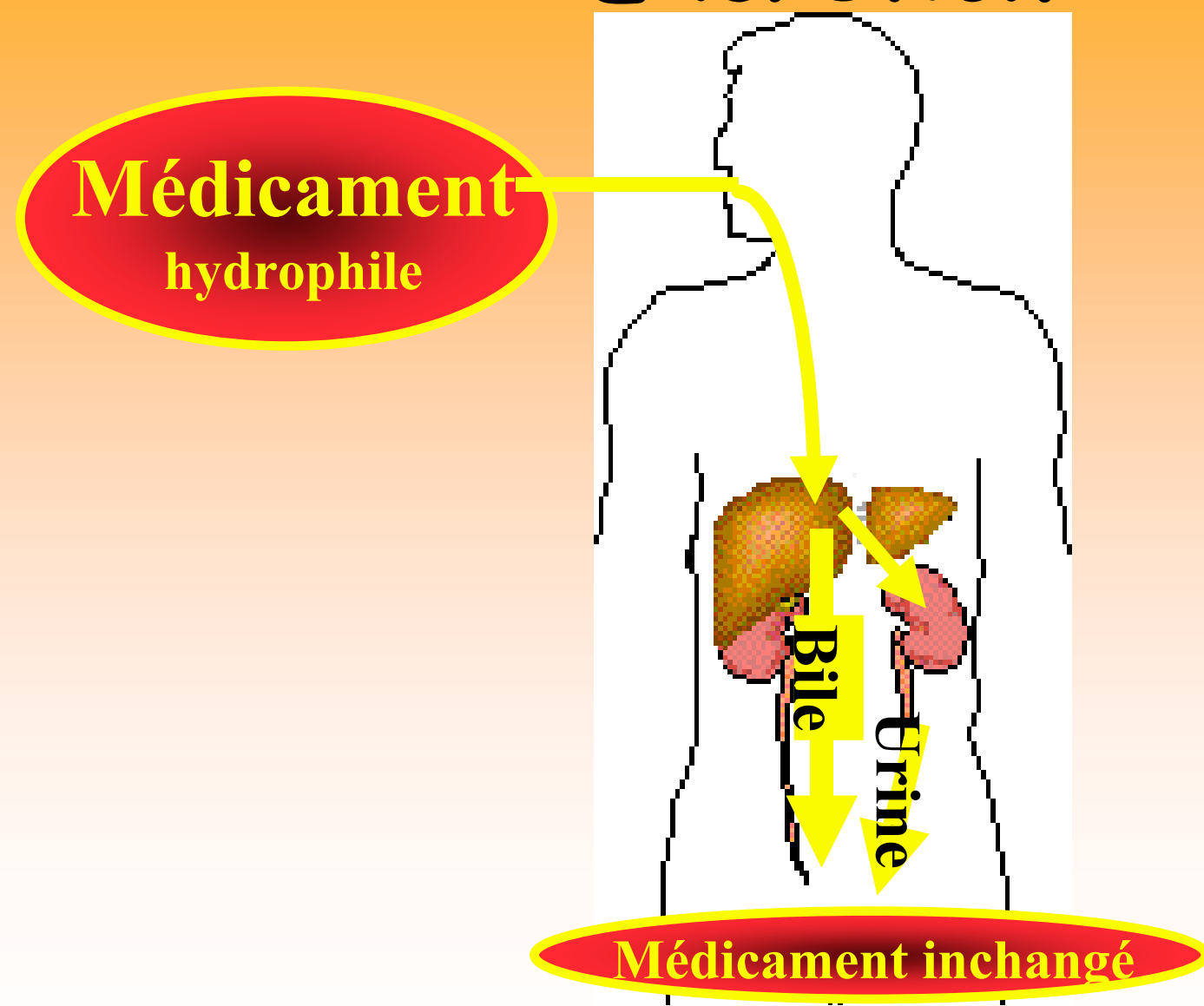
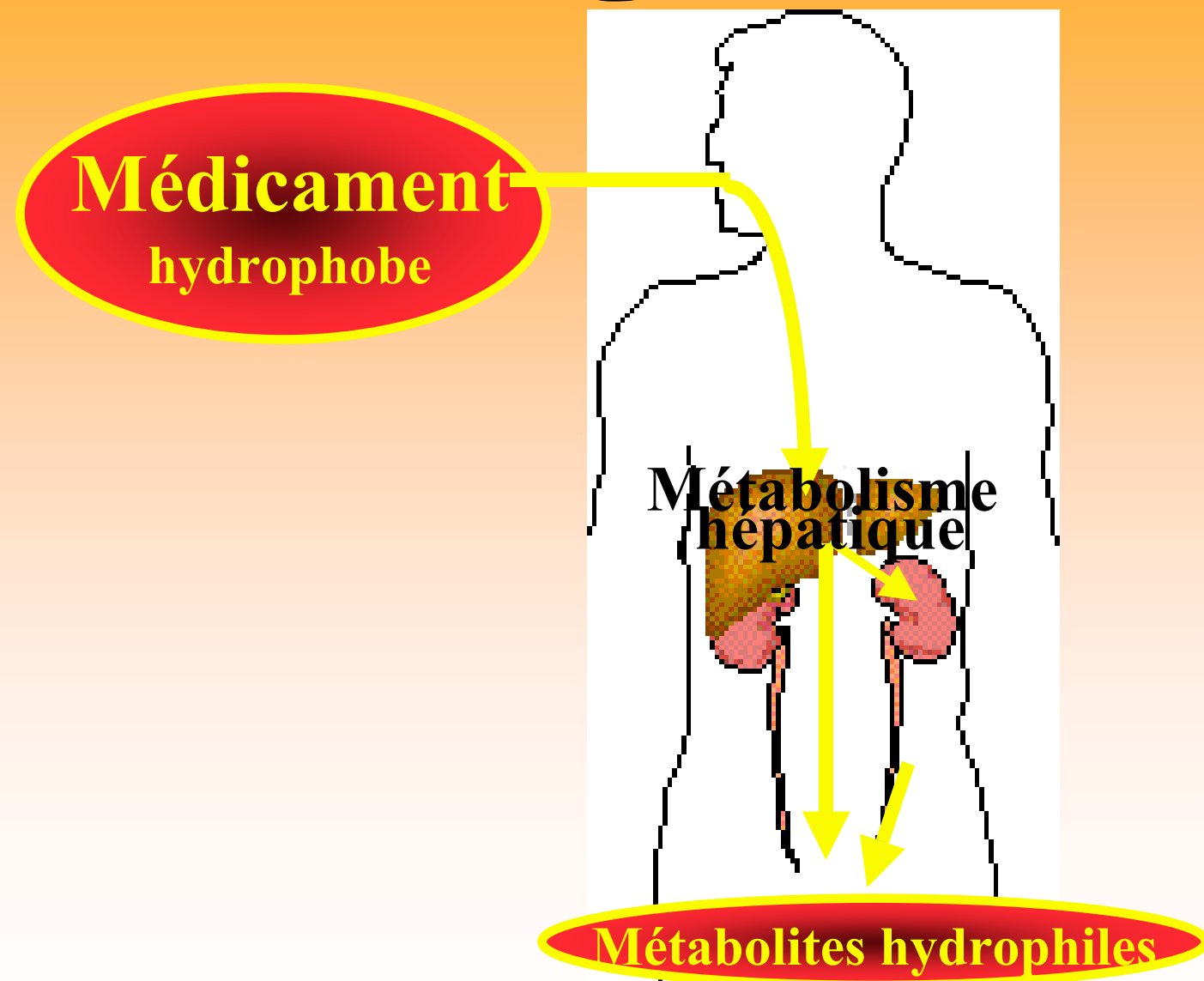


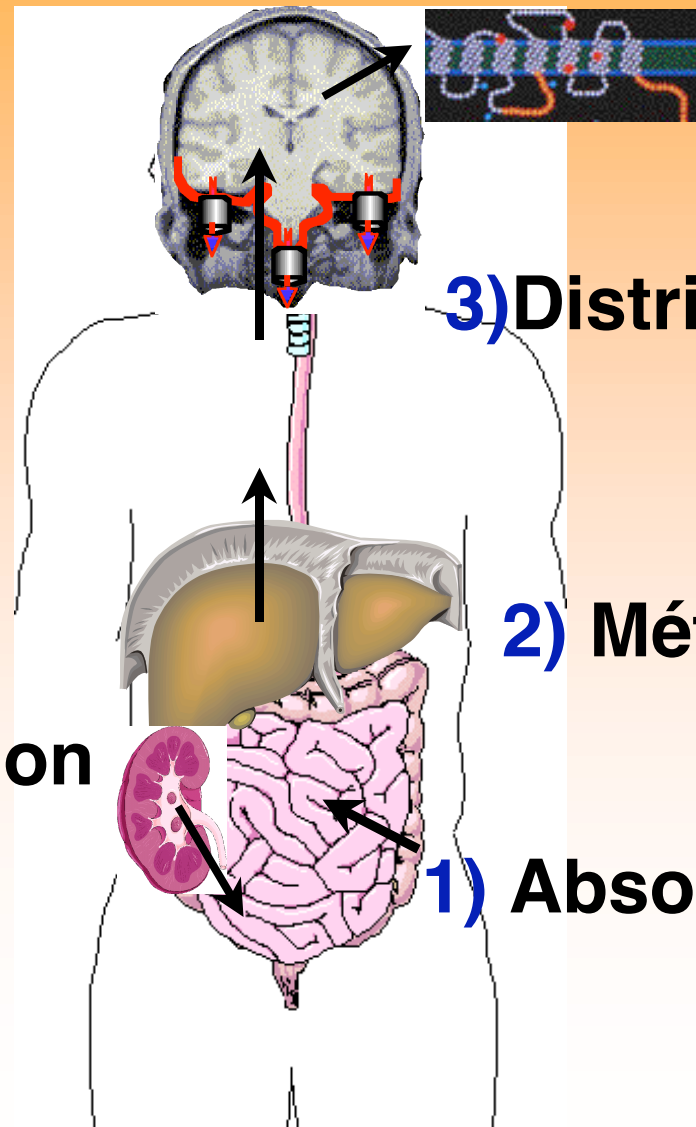
Excrétion



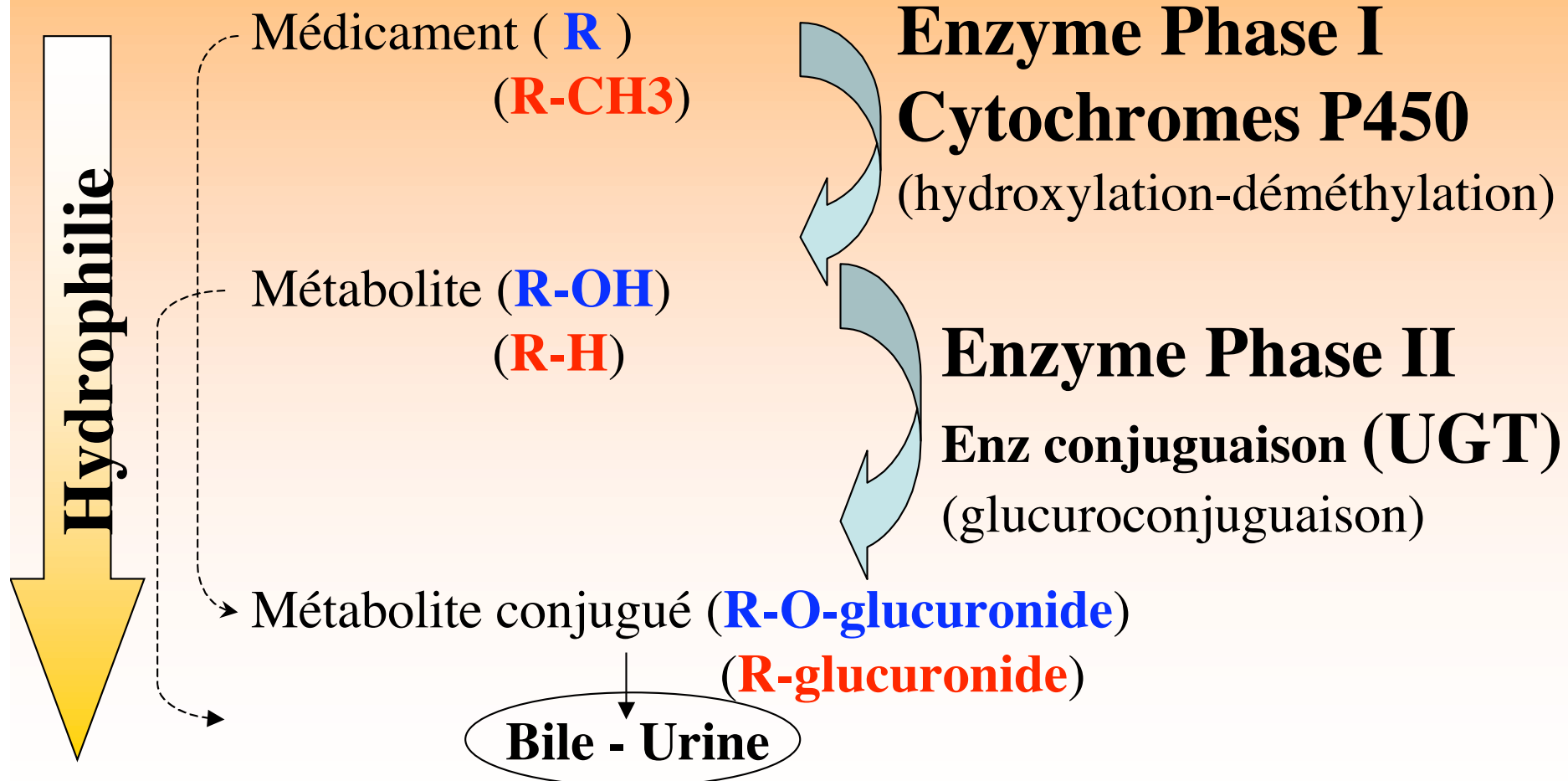
Excrétion



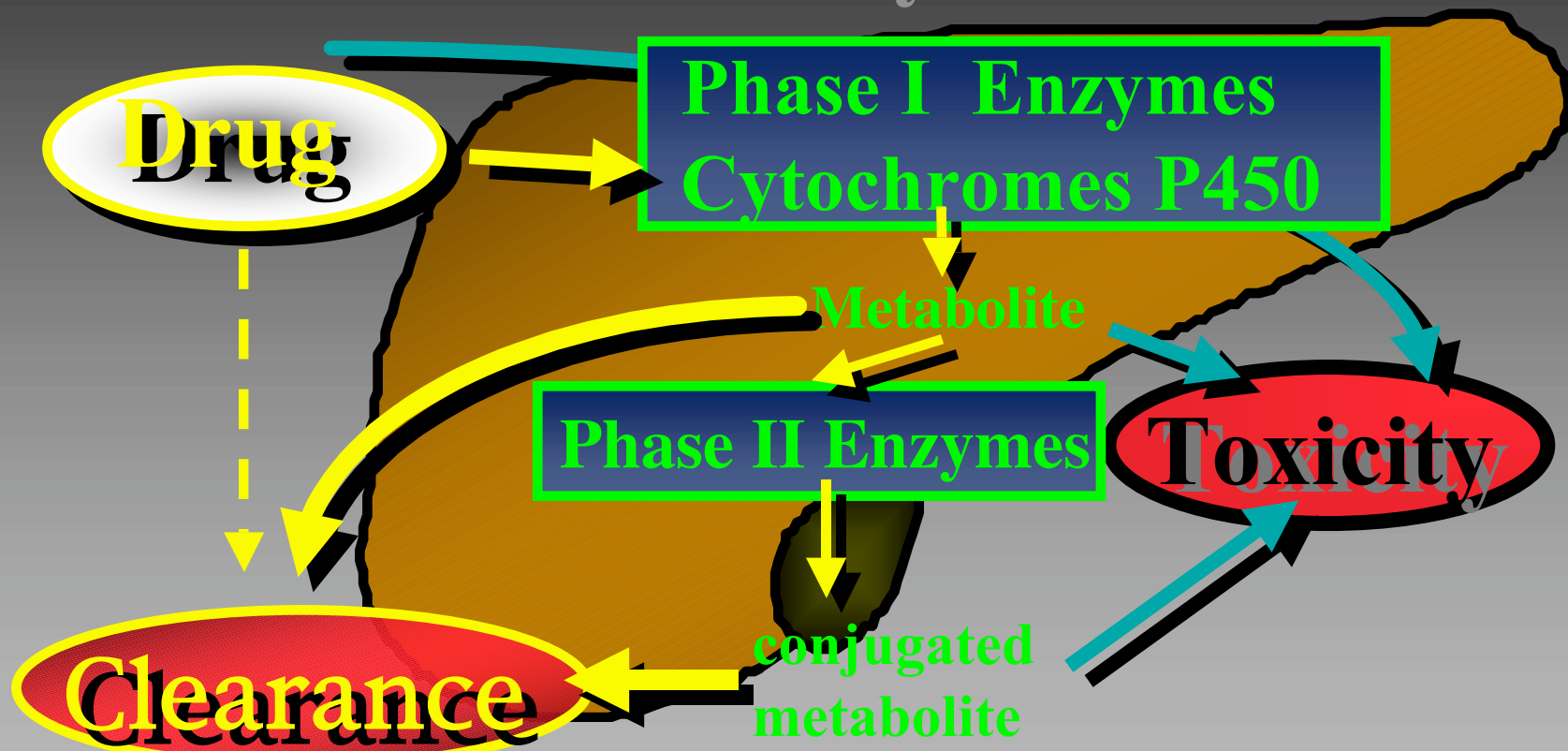
A.D.M.E.

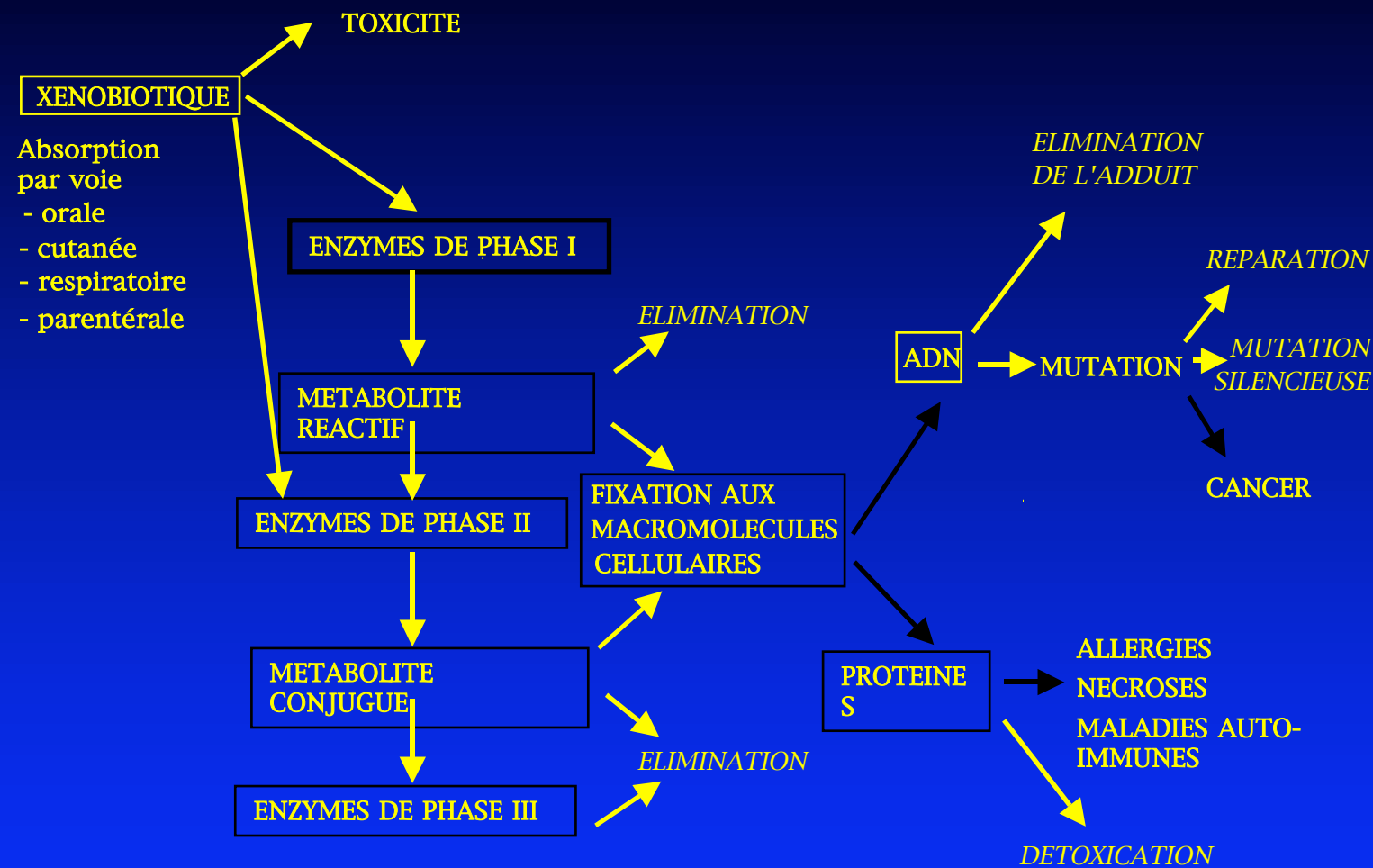


Métabolisme des médicaments

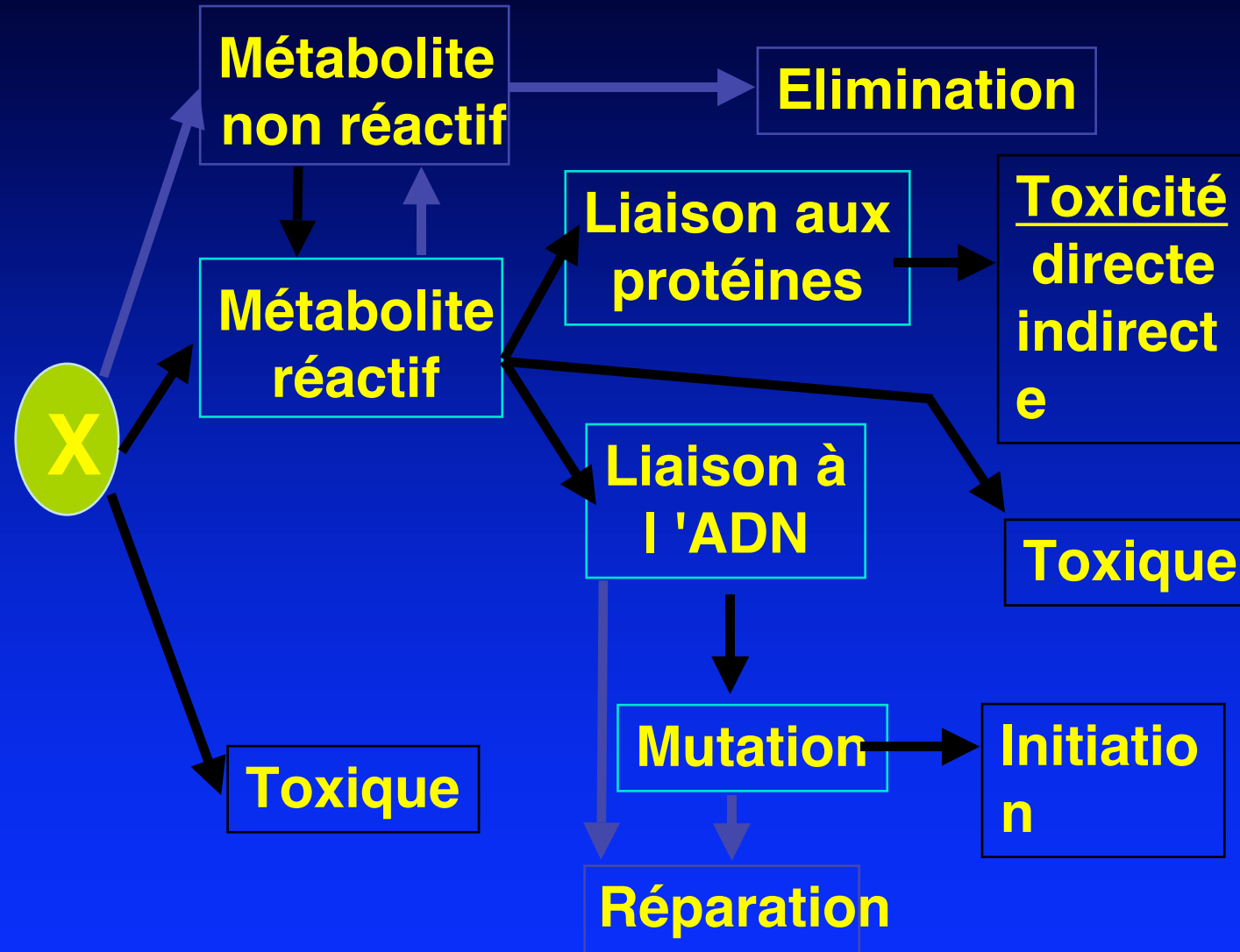


Drug metabolism, Clearance and Toxicity

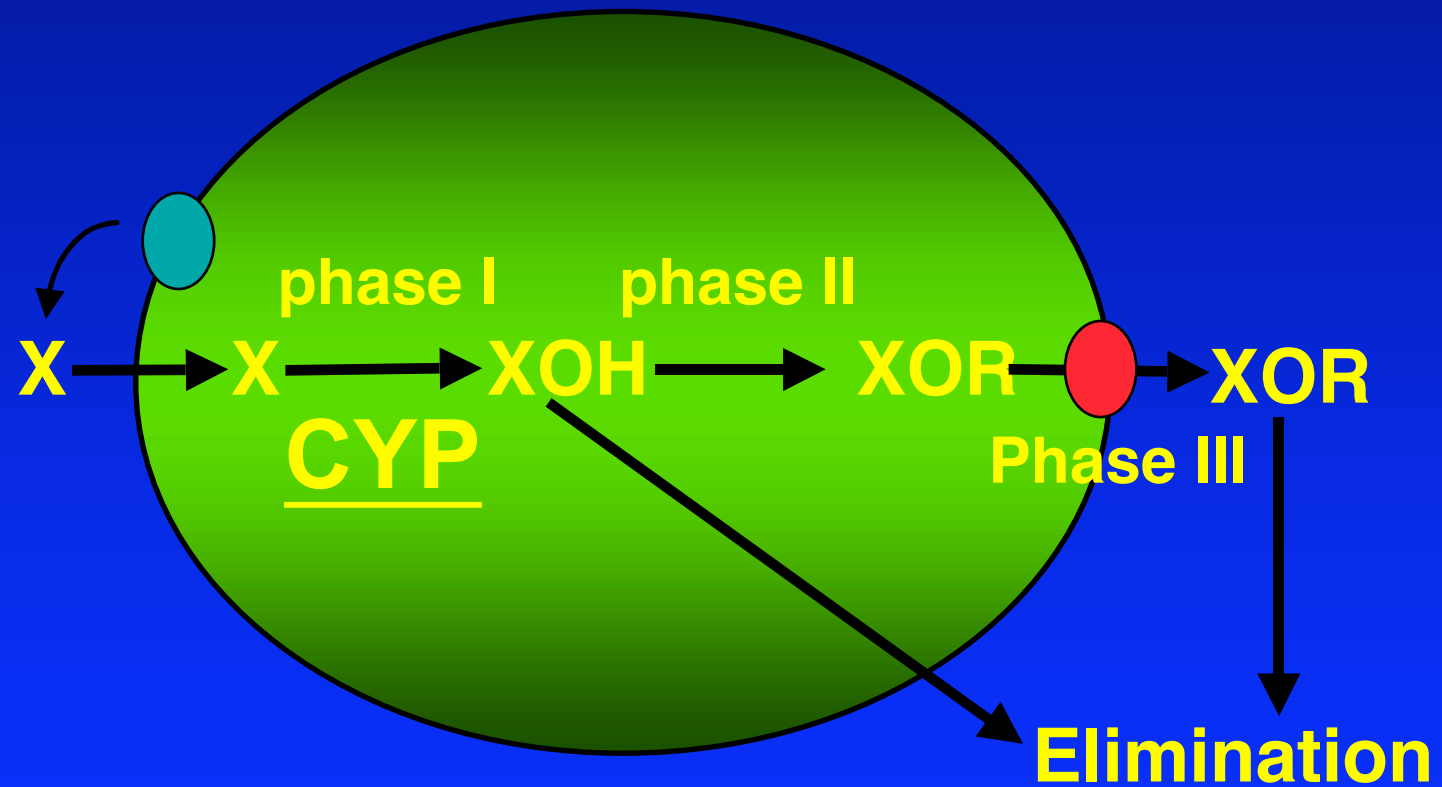




SCHEMA GENERAL DU METABOLISME DES XENOBIOTIQUES



Hepatic Drug metabolism

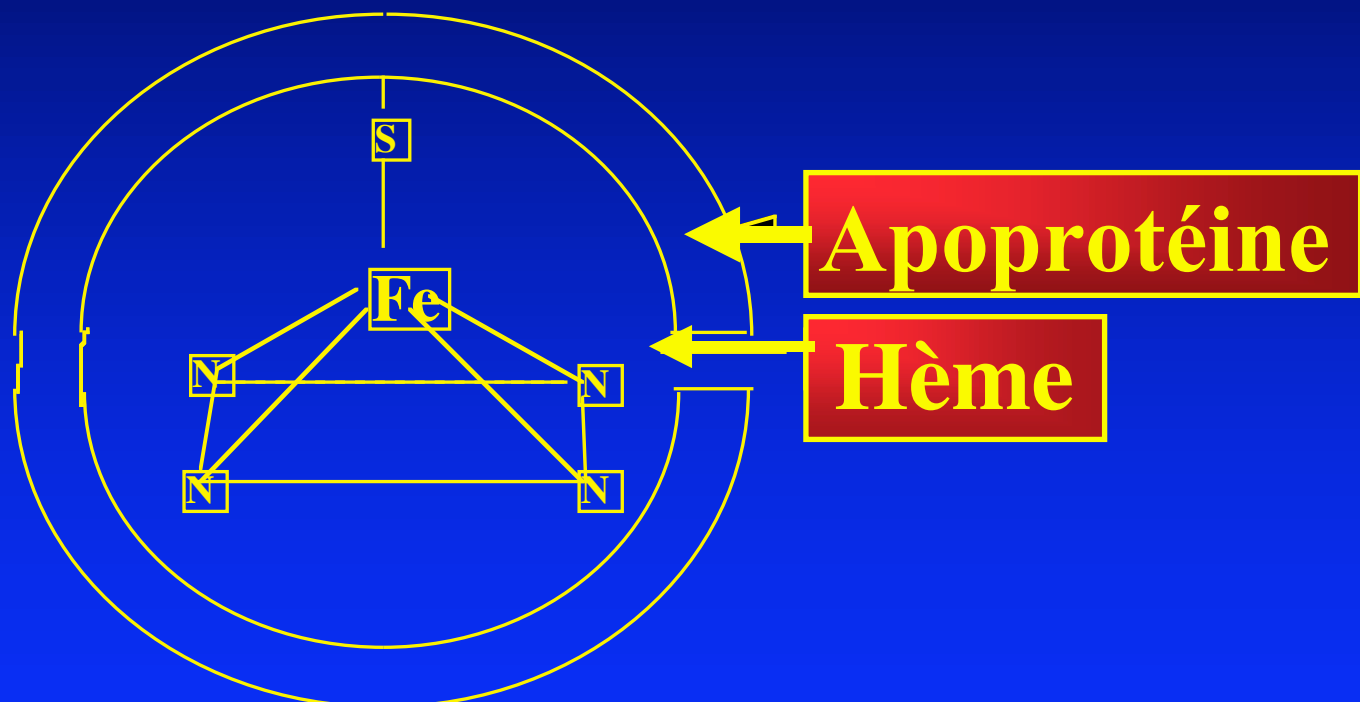


Cytochromes P450

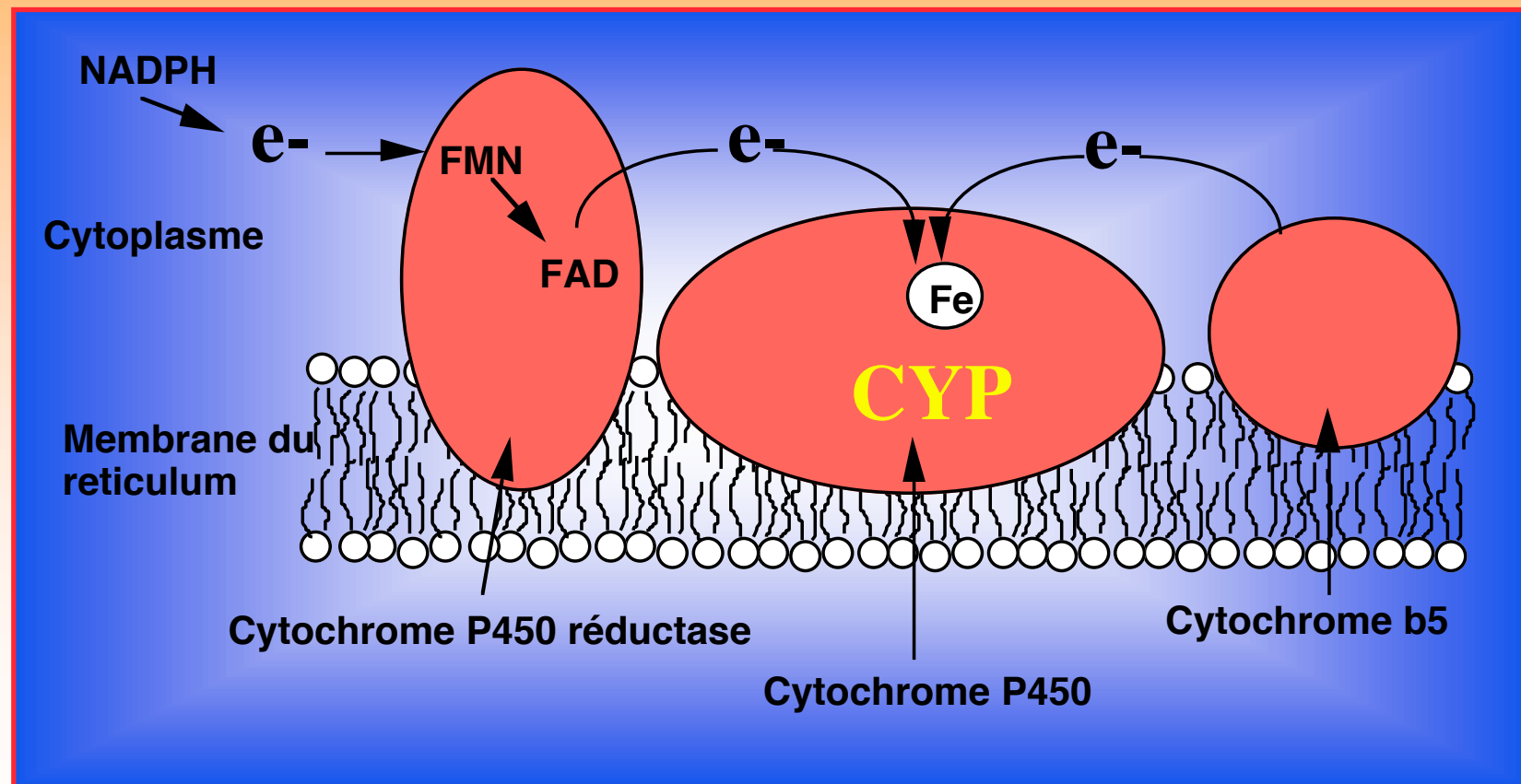
généralités

- Superfamille de protéines
- soixantaine isoformes humaines
- Hemoprotéines 50 KD
- Monooxygenases
- Membrane réticulum endoplasmique
- Expression tissulaire variée
 - Foie, intestin, poumon, rein, surrénale

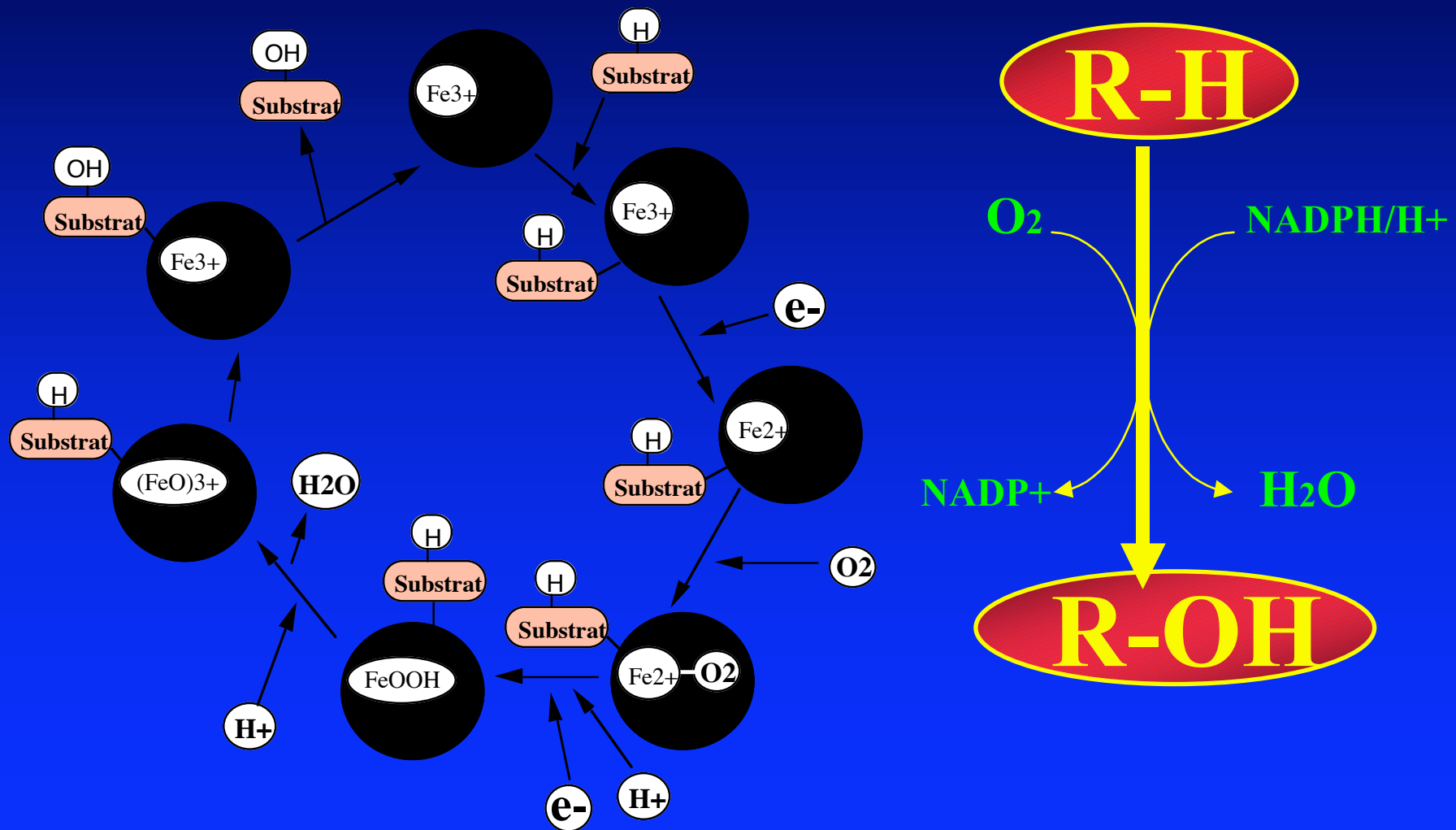
Cytochromes P450



Cytochromes P450

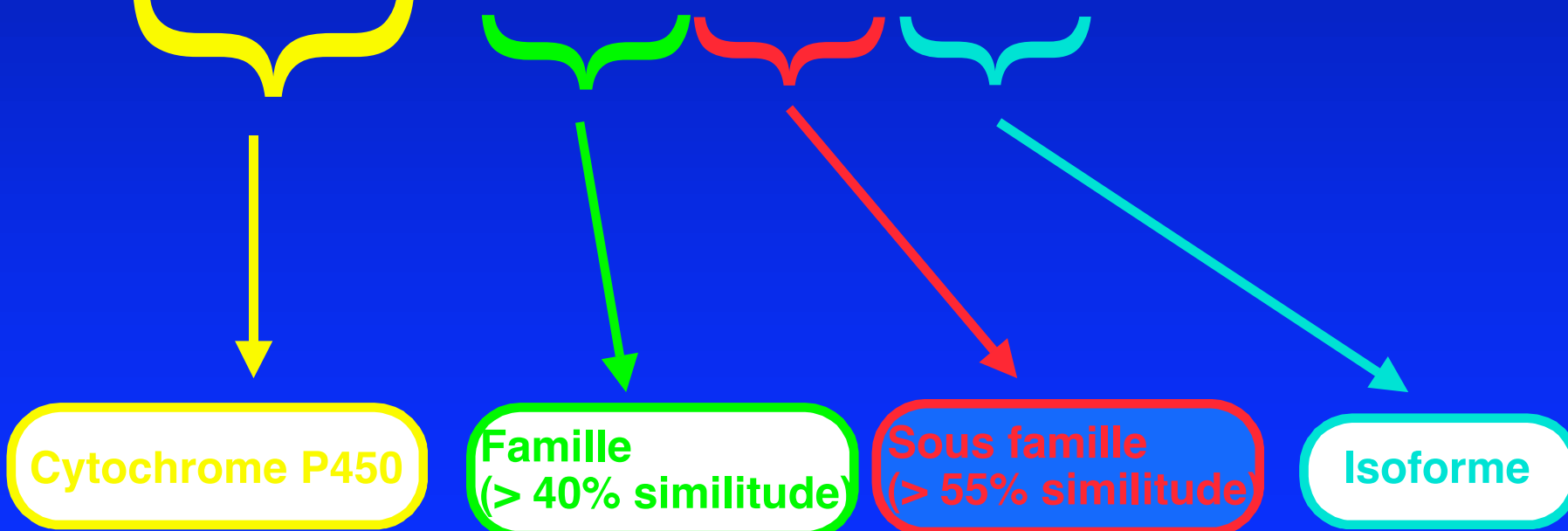


Cytochromes P450

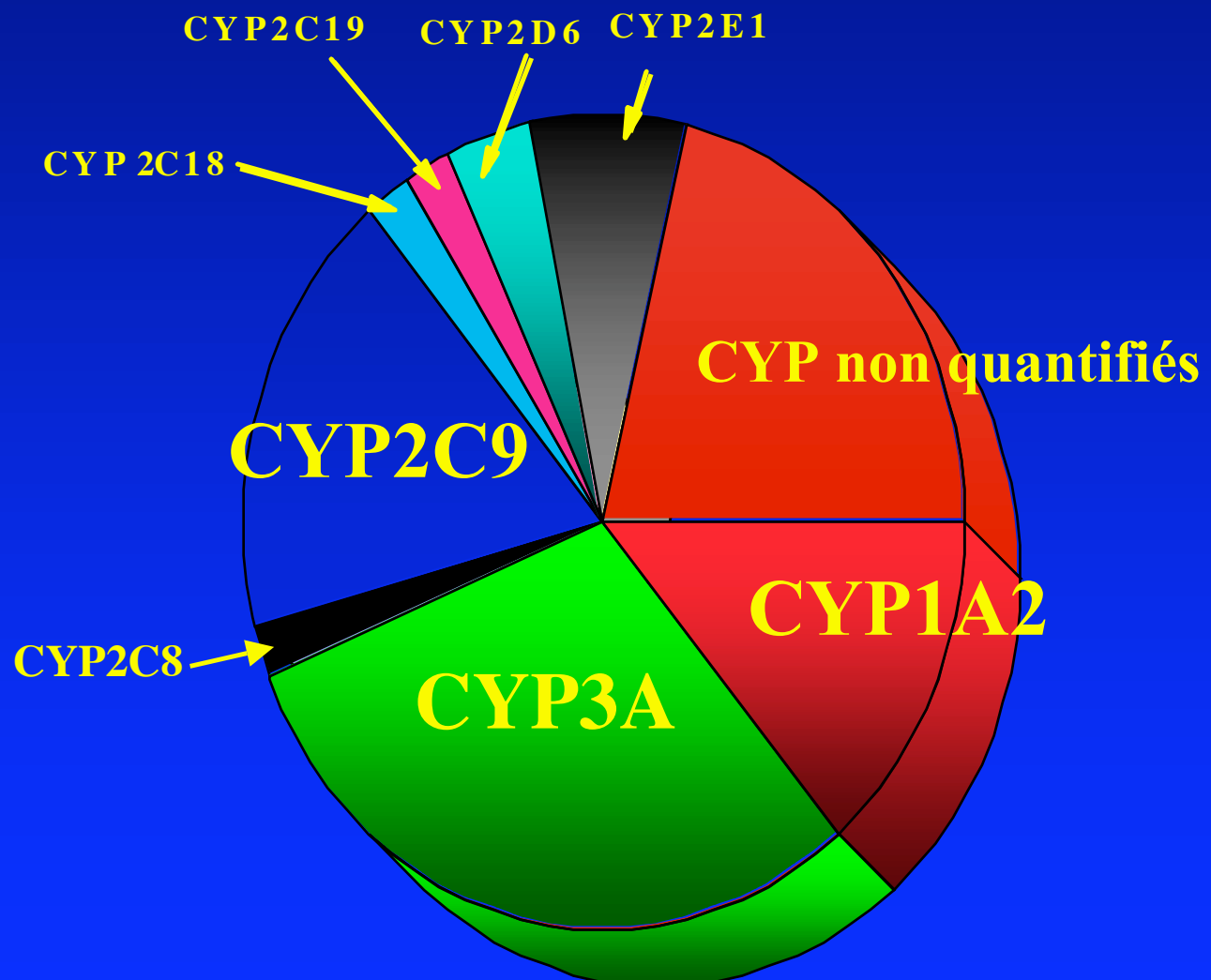


NOMENCLATURE

CYP 3 A 4



CYP hépatiques humains



Particularités des CYP

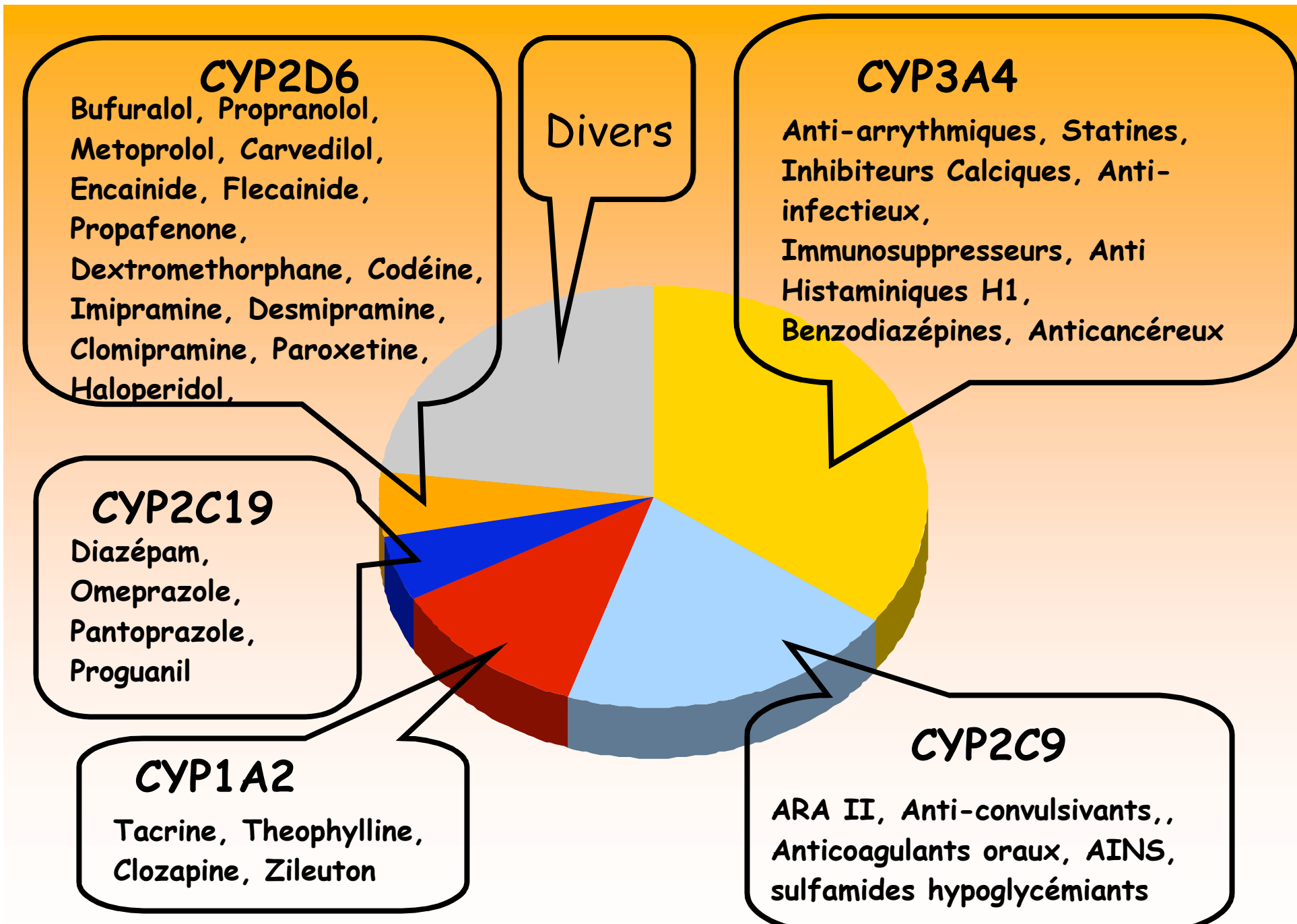
- Variabilité de substrat
- Polymorphisme génétique
- Induction / répression
- inhibiton de l'activité

Particularités des CYP

- Variabilité de substrat
- Polymorphisme génétique
- Induction / répression
- inhibiton de l'activité

| Isoformes de CYP | Niveau d'expression (en % des CYP totaux hépatiques) | Médicaments |
|------------------|--|--|
| CYP1A2 | 15 % | Phénacétine, Tacrine, Théophylline, Clozapine |
| CYP2C9 | 20 % | Losartan, Irbesartan, Phentytoïne, Warfarine, Diclofénac, Tolbutamide |
| CYP2C19 | 2 % | Diazepam, Omeprazole, S-méphénytoïne, Proguanil |
| CYP2D6 | 5 % | Dextromethorphan, Codéine, Spartéine Débrisoquine, Bufuralol, Propranolol, Métoprolol, Carvedilol, Encainide, Flecainide, Propafénone, Imipramine, Desmipramine, Clomipramine, Paroxétine, Halopéridol, perhexiline |
| CYP2E1 | 7 % | Chlorzoxazone, Halothane, Paracetamol |
| CYP3A4 | 30 % | Erythromycine, Troléandomycine, Lidocaine, Lovastatine, Simvastatine, Midazolam, Triazolam, Nifédipine, Nitrendipine, Nimodipine, Amlodipine, Félodipine, Vérapamil, Diltiazem, Ciclosporine, Tacrolimus (FK506), Rapamycine, Quinidine, Amiodarone, Terfenadine, Ethynodiol estradiol, Etoposide, Ifosfamide, Tamoxifén |

Tableau I: Principaux CYP hépatiques humains impliqués dans le métabolisme des médicaments



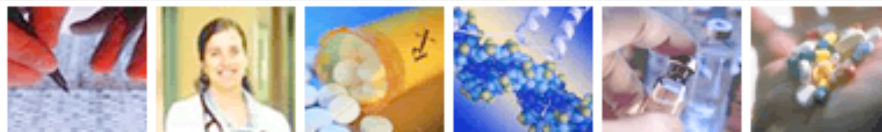
| | Médicaments métabolisés ou transportés | Inhibiteurs | Inducteurs |
|--------------------|---|---|--|
| CYP3A4 | <p>Médicaments cardiovasculaires :</p> <p><u>Anti-arrhythmiques:</u> Quinidine, Lidocaine, Amiodarone <u>Statines:</u> Lovastatine, Simvastatine, Atorvastatine, Cerivastatine <u>Inhibiteurs Calciques:</u> Nifedipine, Nitrendipine, Nimodipine, Amlodipine, Felodipine, Verapamil, Diltiazem</p> <p><u>Anti-infectieux:</u> Amprenavir, Saquinavir, indinavir, Nelfinavir, Ritonavir, lopinavir, Erythromycine, clarythromycine <u>Immunosuppresseurs:</u> cyclosporine, Tacrolimus, Sirolimus, Prednisolone, <u>Anti Histaminiques H1:</u> Terfenadine <u>Benzodiazépines:</u> Midazolam, Triazolam, <u>Anticancéreux:</u> Etoposide, Ifosfamide, Tamoxifen</p> | <p>Médicaments cardiovasculaires:</p> <p>Verapamil, Diltiazem, , Amiodarone</p> <p>Anti infectieux:</p> <p>Erythromycine, clarythromycine Ritonavir Ketoconazole, itraconazole,</p> <p>Divers: Jus de pamplemousse</p> | <p><u>Antiviraux:</u> Efavirenz, Nevirapine,</p> <p><u>Anti-épileptiques:</u> Carbamazepine, Phenobarbital, Phentytoïne,</p> <p><u>Divers:</u> Pioglitazone, Rifampicine, Millepertuis (St. John's wort)</p> |
| P-gp (MDR1) | <p>Médicaments cardiovasculaires :</p> <p><u>Anti-arrhythmiques:</u> Quinidine, digoxine, propafénné <u>Statines:</u> Atorvastatine, simvastatine <u>Inhib Calciques:</u> diltiazem, verapamil, Nicardipine <u>Beta bloquants:</u> Celiprolol, talinolol</p> <p><u>Antiprotéases:</u> Amprenavir, Saquinavir, indinavir, Nelfinavir, Ritonavir <u>Immunosuppresseurs:</u> cyclosporine, Tacrolimus, Sirolimus, Prednisolone, Dexaméthasone <u>Anti Histaminiques H1:</u> Terfenadine, fexofenadine <u>Anti Histaminiques H2:</u> Cimétidine, ranitidine <u>Macrolides:</u> Erythromycin, Rapamycin, <u>Quinolones:</u> Levoxacine, Sparfloxacine, <u>Anticancéreux:</u> (anthracyclines, taxanes....) <u>Divers :</u> Loperamide, domperidone, phentytoïne, morphine</p> | <p>Médicaments cardiovasculaires :</p> <p>Verapamil, Quinidine, , Amiodarone</p> <p>Anti infectieux:</p> <p>Erythromycine, clarythromycine Ketoconazole, itraconazole Ritonavir,</p> | <p>Rifampicine, Millepertuis (St. John's wort)</p> |

Tableau I : Substrats, inhibiteurs et inducteurs de la P-glycoprotéine et du CYP3A4

VIDAL 2004 - AFSSAPS

| CYP | PRINCIPES ACTIFS | INHIBITEURS | INDUCTEURS |
|-----------|--|---|--|
| 1A2 | - Clozapine - Tacrine - Théophylline | - Énoxacine - Fluvoxamine | |
| 2C9, 2C19 | - Anticoagulants oraux : acénocouramol, warfarine - Phénytoïne | | |
| 2D6 | - Antiarythmiques : flécaïnide, propafénone - Thioridazine | - Inhibiteurs du recaptage de la sérotonine : fluoxétine, paroxétine - Quinidine | |
| 3A4 | - Alcaloïdes de l'ergot de seigle - Antiarythmiques : amiodarone, disopyramide - Benzodiazépines : midazolam, triazolam, zolpidem - Cisapride - Ifosfamide - Immunosuppresseurs : ciclosporine, tacrolimus - Opioïdes : alfentanil, fentanyl, méthadone - Pimozide - Sildénafil - Statine : simvastatine, atorvastatine, cérivastatine... | - Jus de pamplemousse - Amiodarone - Antagonistes du clacium : diltiazem, vérapamil - Antifongiques azolés : kéroconazole, itraconazole, fluoconazole, micronazole - Antirotéases : ritonavir, nelfinavir, amprénavir, indinavir - macrolides : érythromycine, clarithromycine, josamycine | - Alcool (en prise chronique) - Tabac - Millepertuis - Antiépileptiques : carbamazépine, phénobarbital, phénytoïne - Anti-infectieux : rifampicine, rifabutine, éfavirenz, névirapine, griséofulvine |

DRUG INTERACTIONS



Defining Genetic Influences on Pharmacologic Responses

Links

- [CYTOCHROME P450 DRUG-INTERACTION TABLE](#)
- [\[CLINICALLY RELEVANT D-I TABLE\]](#)
- [DIVISION OF CLINICAL PHARMACOLOGY AT IU](#)
- [FELLOWSHIP TRAINING AT IU](#)
- [POCKET REFERENCE CARD](#)

[PRINT THIS PAGE](#)

[CONTACT US](#)

Drug-Interaction Table Downloads



Overview

This table is designed as a hypothesis testing, teaching and reference tool for physicians and researchers interested in drug interactions that are the result of competition for, or effects on the human cytochrome P450 system.

Clinicians and health care providers may find an [abbreviated clinical table](#) designed for practical use during prescribing more useful.

The table contains lists of drugs in columns under the designation of specific cytochrome P450 Isoforms. A drug appears in a column if there is published evidence that it is metabolized, at least in part, via that isoform. It does not necessarily follow that the isoform is the principal metabolic pathway *in vivo*, or that alterations in the rate of the metabolic reaction catalyzed by that isoform will have large effects on the pharmacokinetics of the drug.

Disclaimer

The content of this Website is for public use, free of charge and for information only. It is not intended to be used in any other manner. The authors disclaim any liability, loss, injury, or damage incurred as a consequence, directly or indirectly, or the use and application of any of the contents of this website.

The information presented on this site is intended as general health information and as an educational tool. It is not intended as medical advice. Only a physician, pharmacist, or other health care professional should advise a patient on medical issues and should do so using a medical history and other factors identified and documented as part of the health professional/patient relationship.

[✉ Site Feedback](#)

402638

free counter
by bravenet



[View Drug Interaction Table \(Cytochrome P450 System\)](#)

GO

Substrats CYP3A4 (50% med. métabolisés)

Benzodiazépines

alprazolam
midazolam
diazepam
triazolam

Autres

Ethymorphine
Cocaine

Anticancéreux

isofosfamide
imatinib

analogues non nucléosi

delavirdine
efavirenz

Antiarythmiques

amiodarone
quinidine
lidocaine

Antibiotiques

Erythromycine
clarythromycine
rifampicine
troleandomycine

Antiprotéases

saquinavir
indinavir
nelfinavir
amprénavir

Hormones

estradiol
éthynodiol
dexaméthasone
prednisolone

inhibi HMGCoA-R

simvastatine
lovastatine
atorvastatine
cerivastatine

inhibiteurs calciques

diltiazem
vérapamil
bépridil
amlodipine
nifédipine

antihistaminiques

terfenadine

immunosuppresseurs

ciclosporine
tacrolimus
rapamycine

Particularités des CYP

- Variabilité de substrat
- Polymorphisme génétique
- Induction / répression
- inhibiton de l'activité

Polymorphisme génétique

| | Fréquence des homozygotes mutés (Caucasiens) |
|---------|--|
| CYP2D6 | 9% |
| CYP2C19 | 3% |
| CYP2C9 | 1 à 3 % |
| CYP3A5 | 20 % expriment cette isoforme dans le foie |

Interindividual variability of CYP2D6 drug metabolism : Genetic polymorphism

In Vitro

0.0001
0.001
0.01
0.1
1

CYP2D6 activity
human liver microsomes

In Vivo

Number of subjects

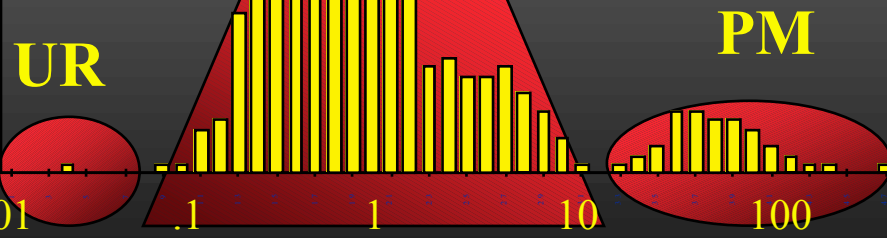
0 10 20 30 40 50 60 70 80 90

Steiner et al 1988

EM

UR

PM



Particularités des CYP

- Variabilité de substrat
- Polymorphisme génétique
- Induction / répression
- inhibiton de l'activité

Inducteurs de CYP

| CYP | Médicaments |
|--------|--|
| CYP1A | Oméprazole, ritonavir, fumée de cigarette |
| CYP2C9 | Phénobarbital, griséofuline, phénytoïne |
| CYP2E1 | Alcool |
| CYP3A4 | Rifampycine, griséofulvine, carbamazépine, phénytoïne, phénobarbital |

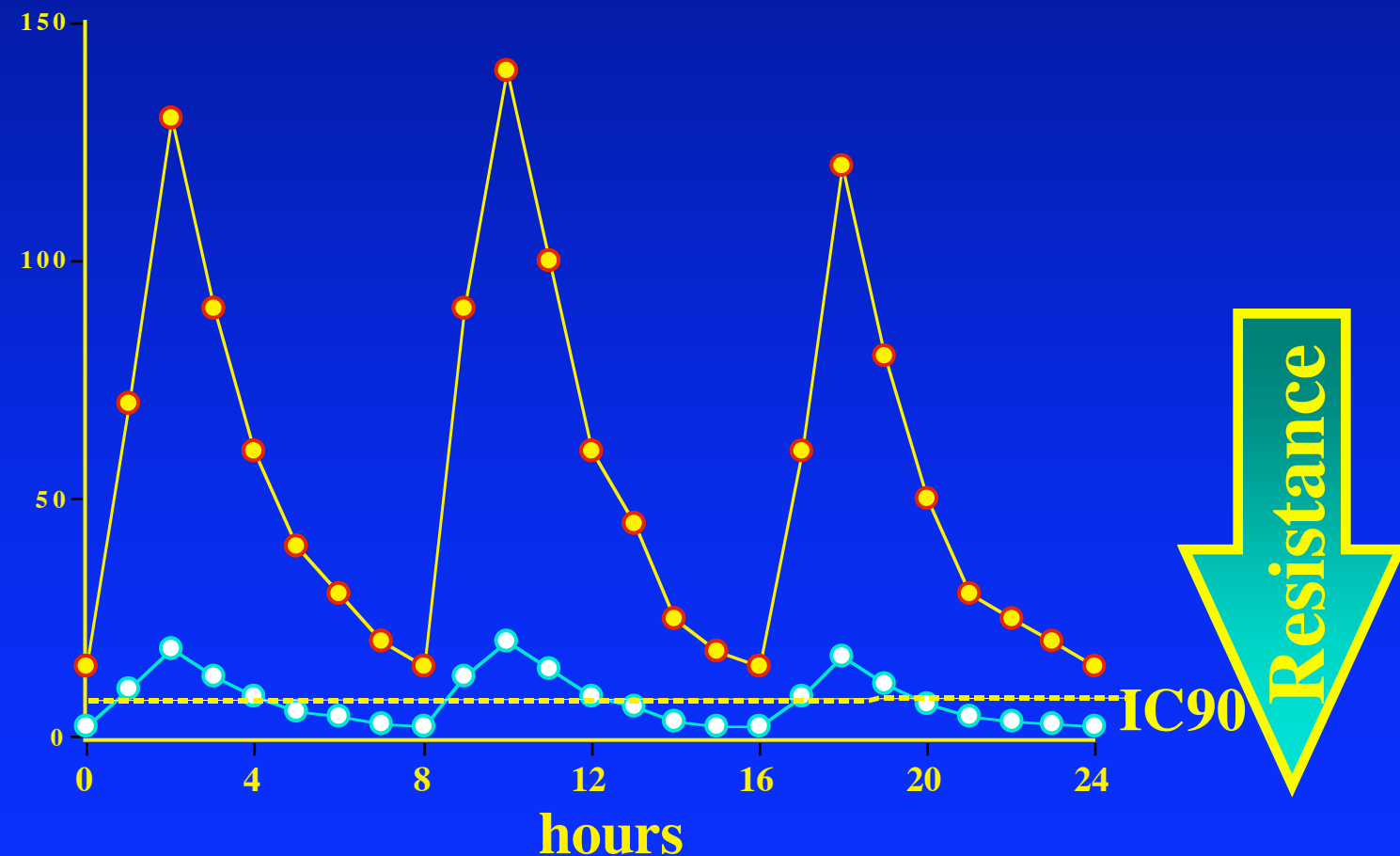
Inhibiteurs CYP3A4

Jus de pamplemousse,
Amiodarone, Diltiazem, Verapamil,
Kétoconazole, Itraconazole, Fluconazole, Miconazole,
Ritonavir, Nelfinavir, amprenavir, indinavir
Erythromycine, Clarythromycine, Josamycine

Inducteurs CYP3A4

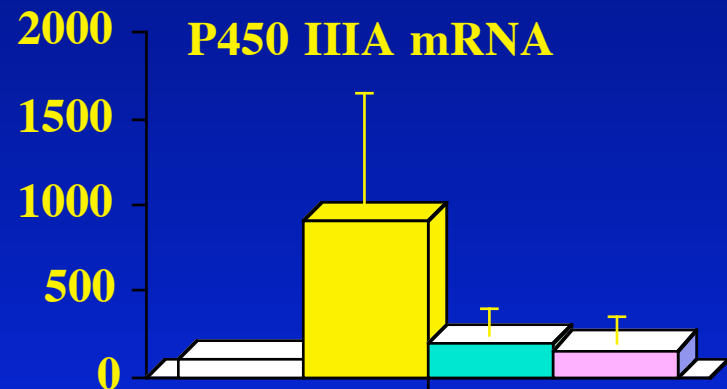
Tisane Millepertuis,
Rifampicine, Rifabutine
Phenobarbital, Carbamazépine, Phénytoïne
Efavirenz, Névirapine, Griseofulvine

Consequences of metabolism Induction

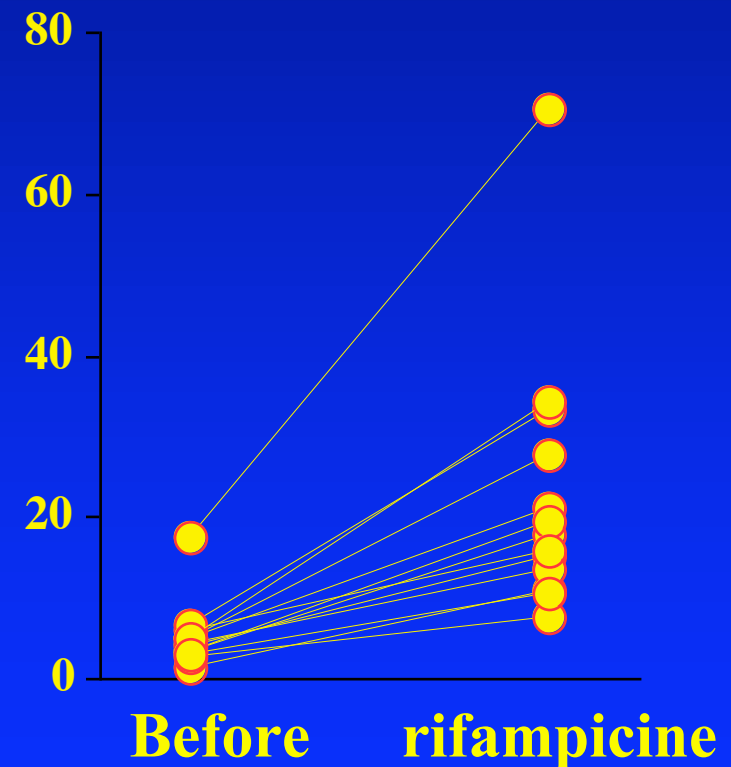
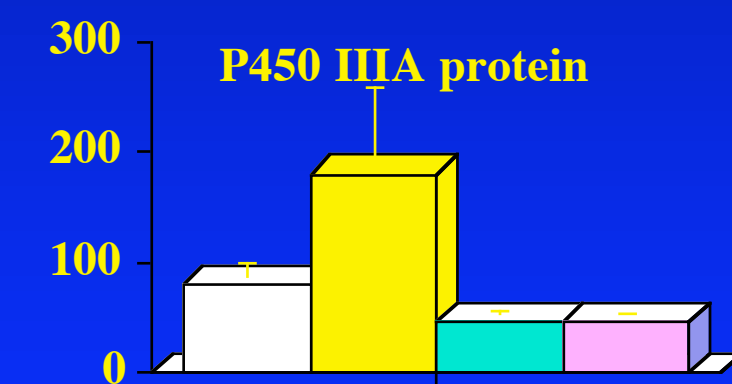


Rifampicine CYP3A induction

primary human hepatocyte cell culture



Healthy volunteers



Morel et al 1990

Particularités des CYP

- Variabilité de substrat
- Polymorphisme génétique
- Induction / répression
- inhibiton de l'activité

Inhibiteurs de CYP

| CYP | Médicaments |
|---------|--|
| CYP1A2 | Furafylline, fluvoxamine, enoxacine |
| CYP2C9 | sulfaphenazole, fluvastatine |
| CYP2C19 | Oméprazole, ticlopidine |
| CYP2D6 | quinidine, fluoxétine |
| CYP2E1 | Disulfiram |
| CYP3A4 | Kétoconazole, Clarythromycine, Erythromycine, gestodène |

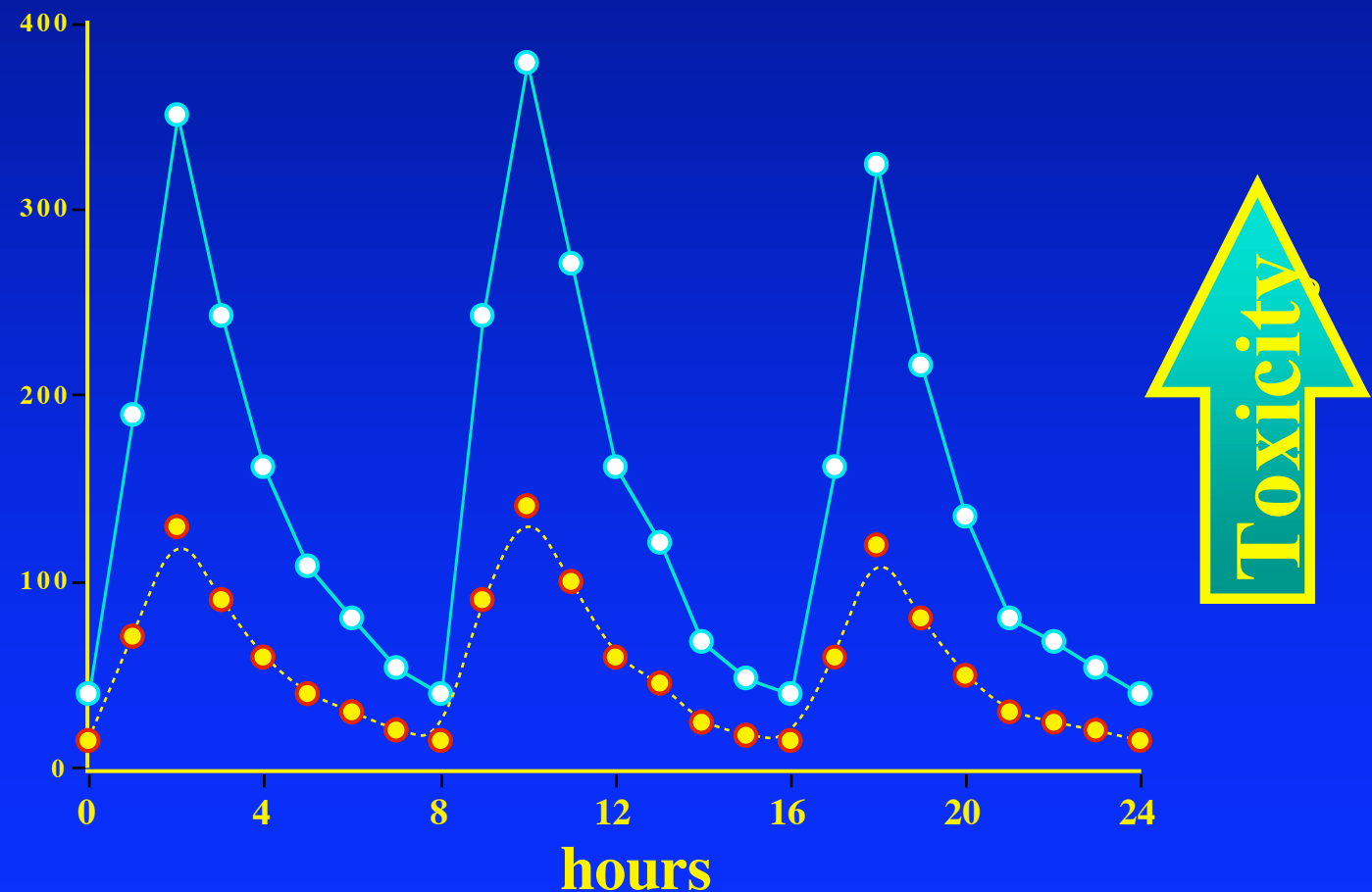
Inhibiteurs CYP3A4

Jus de pamplemousse,
Amiodarone, Diltiazem, Verapamil,
Kétoconazole, Itraconazole, Fluconazole, Miconazole,
Ritonavir, Nelfinavir, amprenavir, indinavir
Erythromycine, Clarythromycine, Josamycine

Inducteurs CYP3A4

Tisane Millepertuis,
Rifampicine, Rifabutine
Phenobarbital, Carbamazépine, Phénytoïne
Efavirenz, Névirapine, Griseofulvine

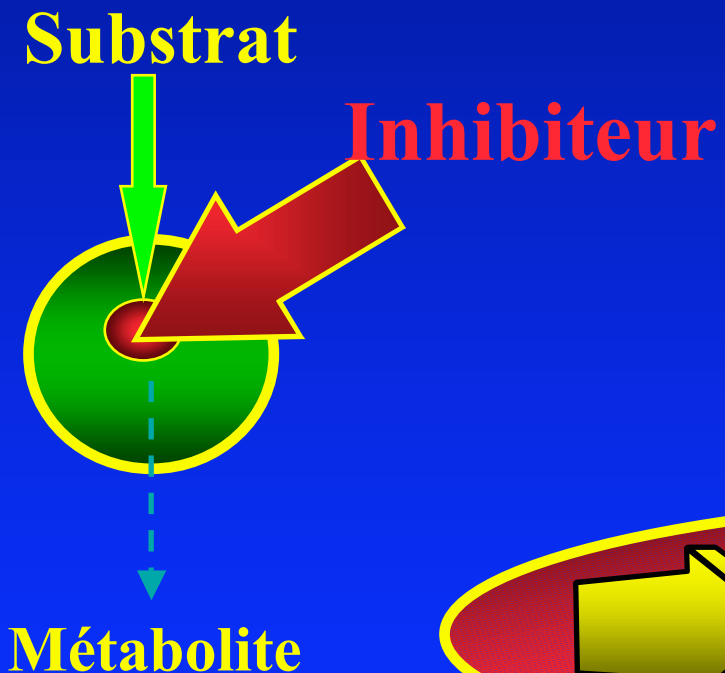
Consequences of metabolism Inhibition



Conséquences pharmacologiques du métabolisme hépatique des médicaments chez l'homme

- Polymorphisme génétique :
 - absence d'effet ou surdosage chez les ML
- Induction :
 - perte de l'effet par  de la clairance
- Inhibition :
 - surdosage par  de la clairance

Interactions médicamenteuses par inhibition du métabolisme



- Les plus fréquentes
- potentiellement dangereuses
- Encore détectées tardivement

Détection précoce

Quand étudier le métabolisme d'un médicament ?

1) Le médicament a une clairance métabolique élevée

- généralement médicament hydrophobe, devant être rendu plus hydrophile pour être éliminé en milieu aqueux (dans la bile ou les urines).
- cad que le médicament est éliminé essentiellement sous forme de métabolites, la clairance métabolique représente au moins 30 % de la clairance totale.
- risque d'interaction médicamenteuse par inhibition ou induction des enzymes du métabolisme
- intéressant pour les médicaments à index thérapeutique étroit (conc. plasmatiques proches des conc. toxiques).
- intéressant quand le médicament est une pro-droge (inactif) nécessitant une métabolisation pour être actif.

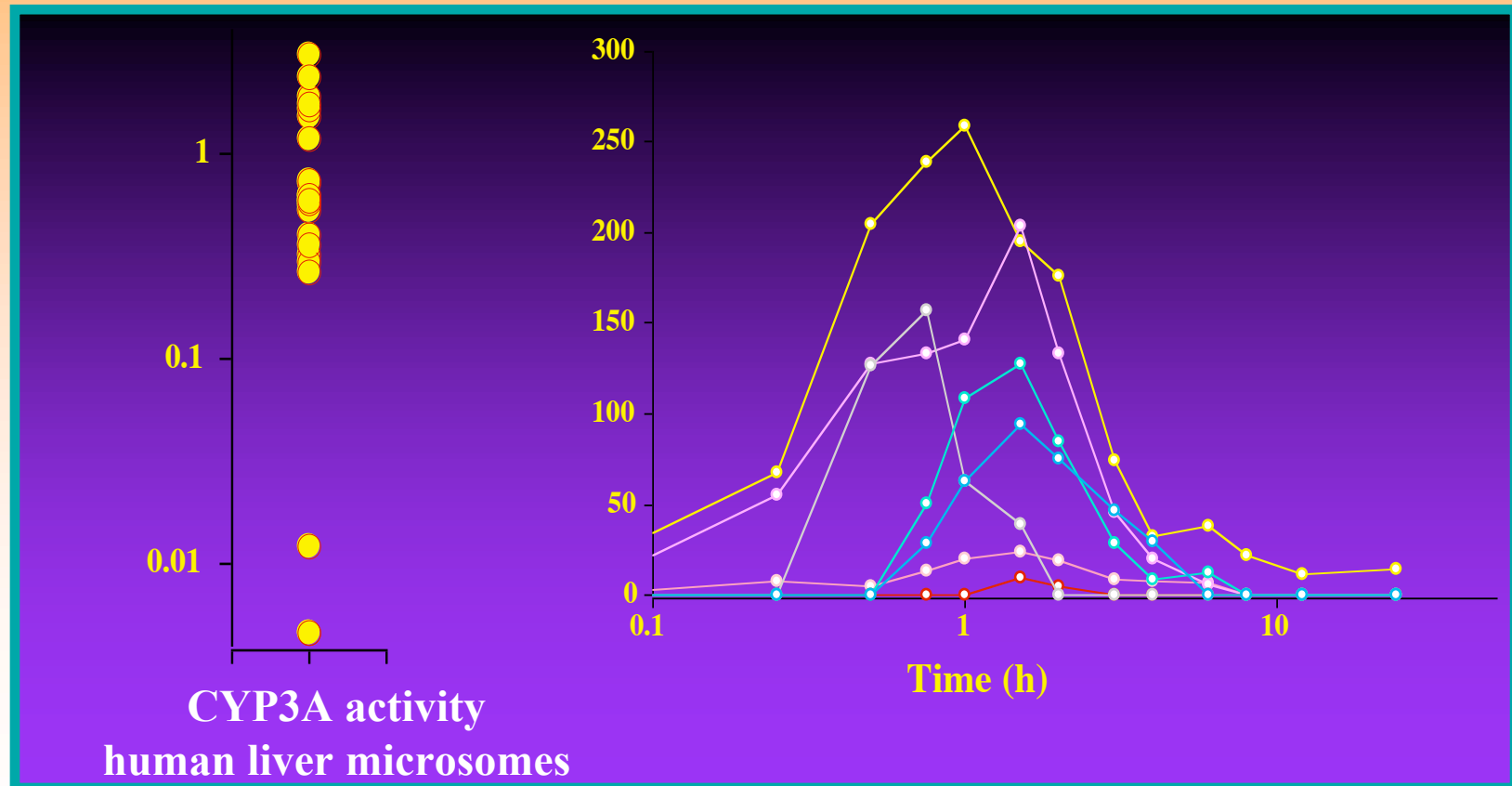
2) Le médicament a une clairance métabolique faible mais un métabolite est毒ique

Liver metabolism

→ Interindividual variability

In Vitro

In Vivo



Comment étudier le métabolisme d'un médicament ? (1)

1) In vitro

Objectifs

déterminer quels sont les métabolites

déterminer les enzymes responsables du métabolisme

* Matériel:

a) Cultures cellulaires (humaines +++, animales)

* cultures primaires

* lignées humaines immortalisées (dédifférenciation)

* lignées humaines immortalisées transfectées (avec EMX)

b) tranches d'organes

c) subfractions cellulaires (microsomes, cytosol, membranes plasmiques)

d) enzymes humaines exprimées dans des systèmes d'expression hétérologues (bactéries, levures, cellules humaines)

Comment étudier le métabolisme d'un médicament ? (2)

1) In vitro

* Stratégie:

- a) inhibition du métabolisme (médicaments, anticorps)
- b) induction du métabolisme
- c) - corrélation entre l'activité métabolique du médicament et des activités enzymatiques spécifiques d'une enzyme (sur un large panel d'échantillons)
 - corrélation entre l'activité métabolique du médicament et le contenu en une enzyme (WesternBlott)
- d) les enzymes recombinantes permettent une approche directe

Prédiction du métabolisme chez l'homme

Comment étudier le métabolisme d'un médicament ? (3)

2) In vivo

* Matériel:

Animaux normaux

Animaux transgéniques

Homme :

volontaires sains

malades

* Stratégie:

Cinétique d'élimination d'un médicament (dose unique ou état d'équilibre)

- différence entre les individus ML et MR (polymorphisme génétique)
- Corrélation avec une voie métabolique prédéterminée (ex test à la caféine)
- Interaction médicamenteuse: inhibition de l'élimination d'un médicament en présence d'un inhibiteur spécifique

Utilisation des modèles in vitro

Microsomes Hépatiques Humains

cinétique enzymatique (Vm, Km, 1 ou plusieurs enzymes)

études de corrélation

études d 'inhibition

- IC50%
- Ki (+++)

Enzymes recombinants

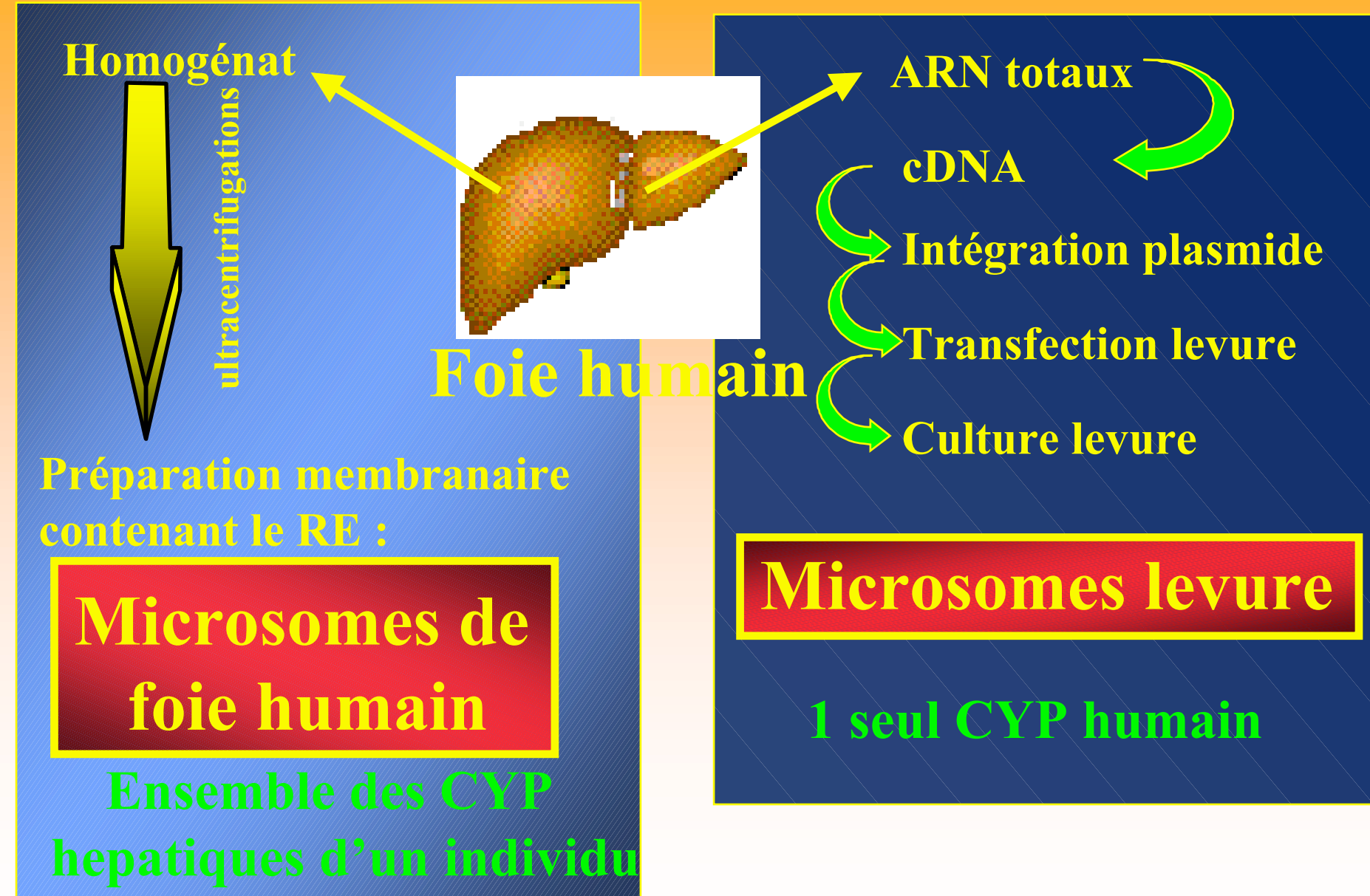
screening avec un panel d 'enzymes humaines

Cultures primaires d'hépatocytes humains

induction (+++)

toxicologie

cinétique d 'élimination



$$V = \frac{V_{max1} \times S}{K_m1 + S} + \frac{V_{max2} \times S}{K_m2 + S}$$

Inhibition Compétitive

$$V = \frac{V_{max} \times S}{S + K_m \times (1 + \frac{I}{K_i})}$$

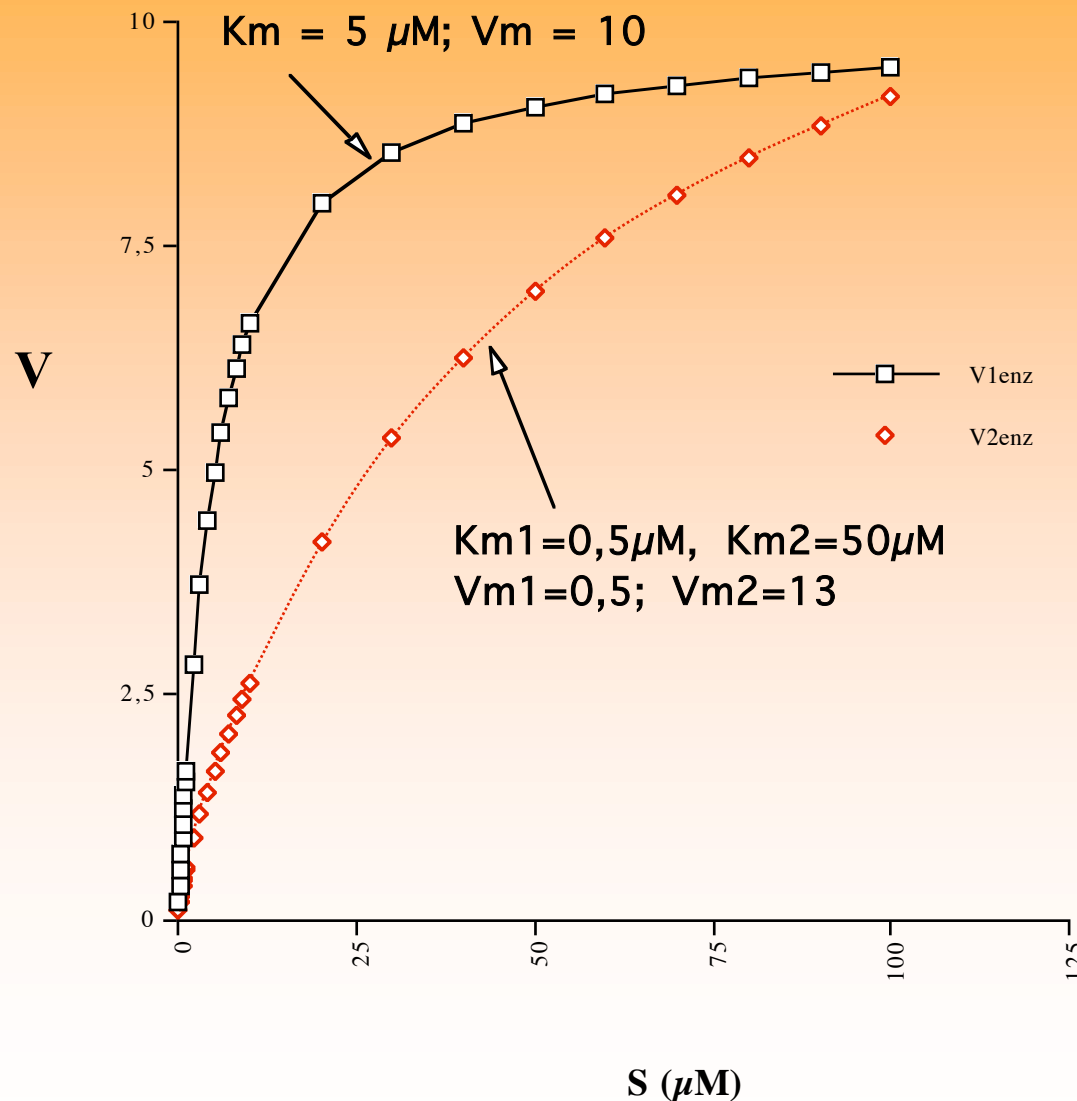
Inhibition Compétitive: V_{max} reste constante,
 K_m augmente avec $[I]$

Inhibition Non-Compétitive

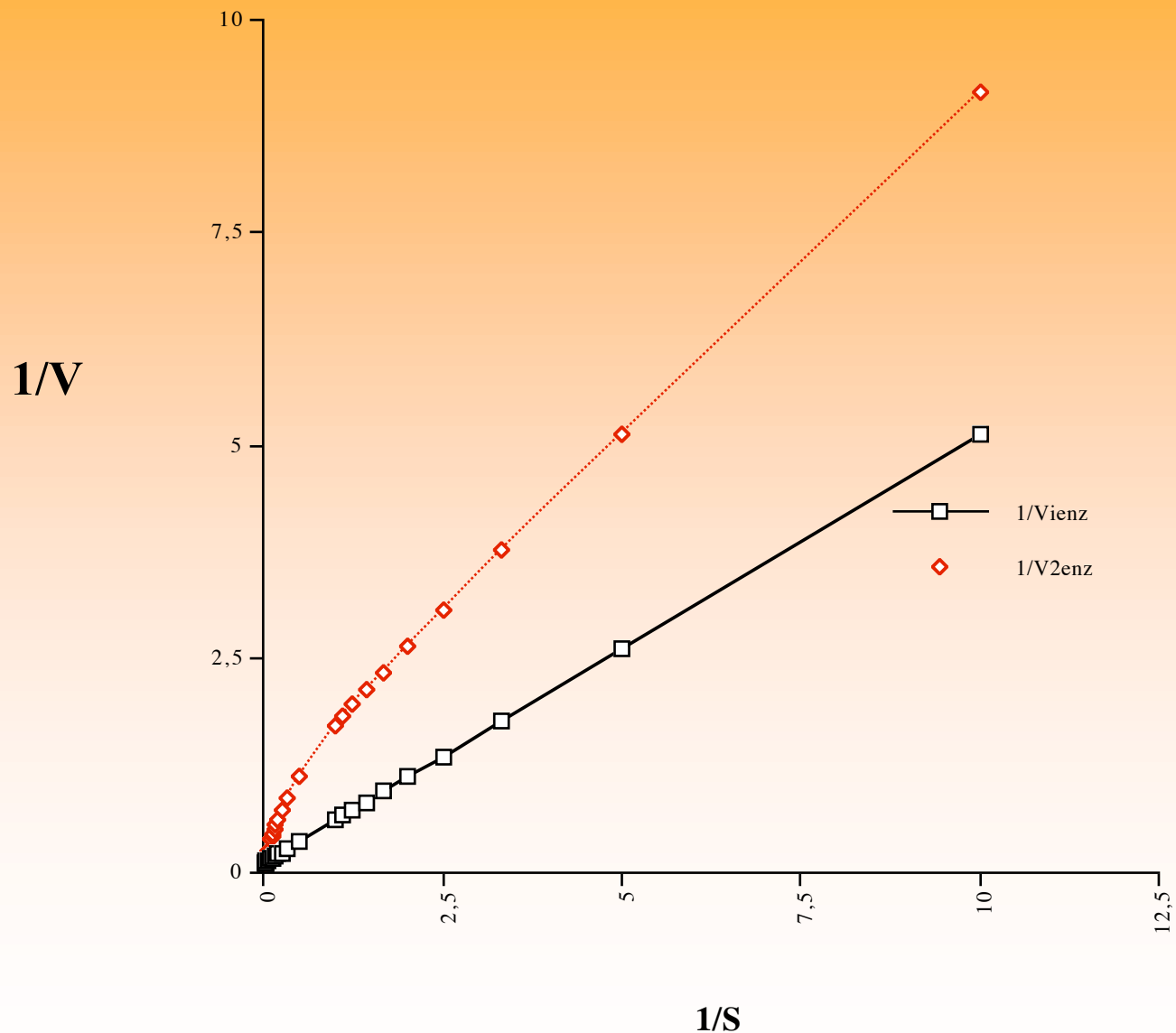
$$V = \frac{(V_{max} \times S) / (1 + (I/K_i))}{S + K_m}$$

Inhibition Non-Compétitive: K_m reste constante,
 V_{max} diminue avec $[I]$

comparaison de cinétiques enzymatiques à 1 et 2 enzymes

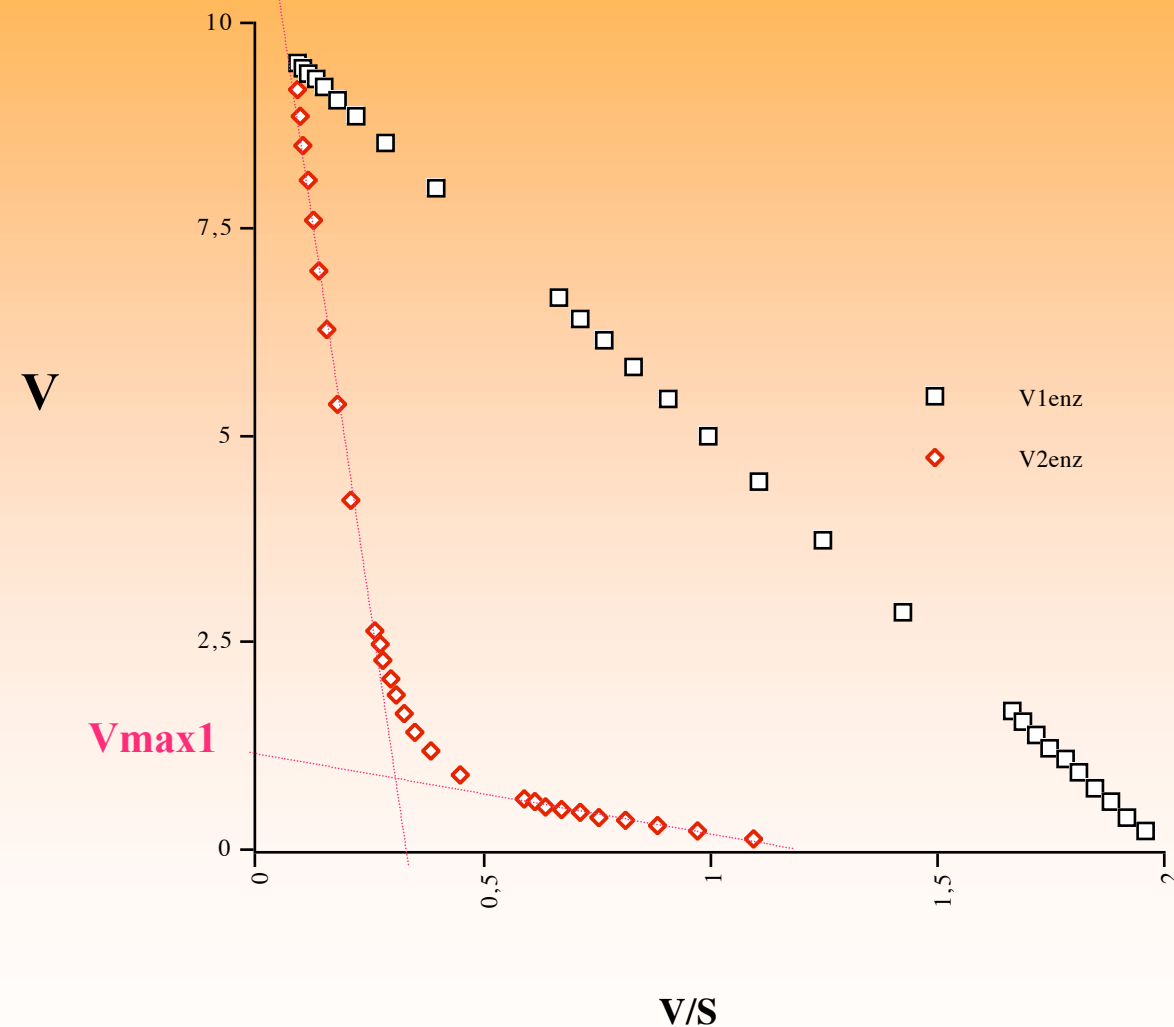


Lineweaver et Burk



V_{max2}

Eadie Hofstee



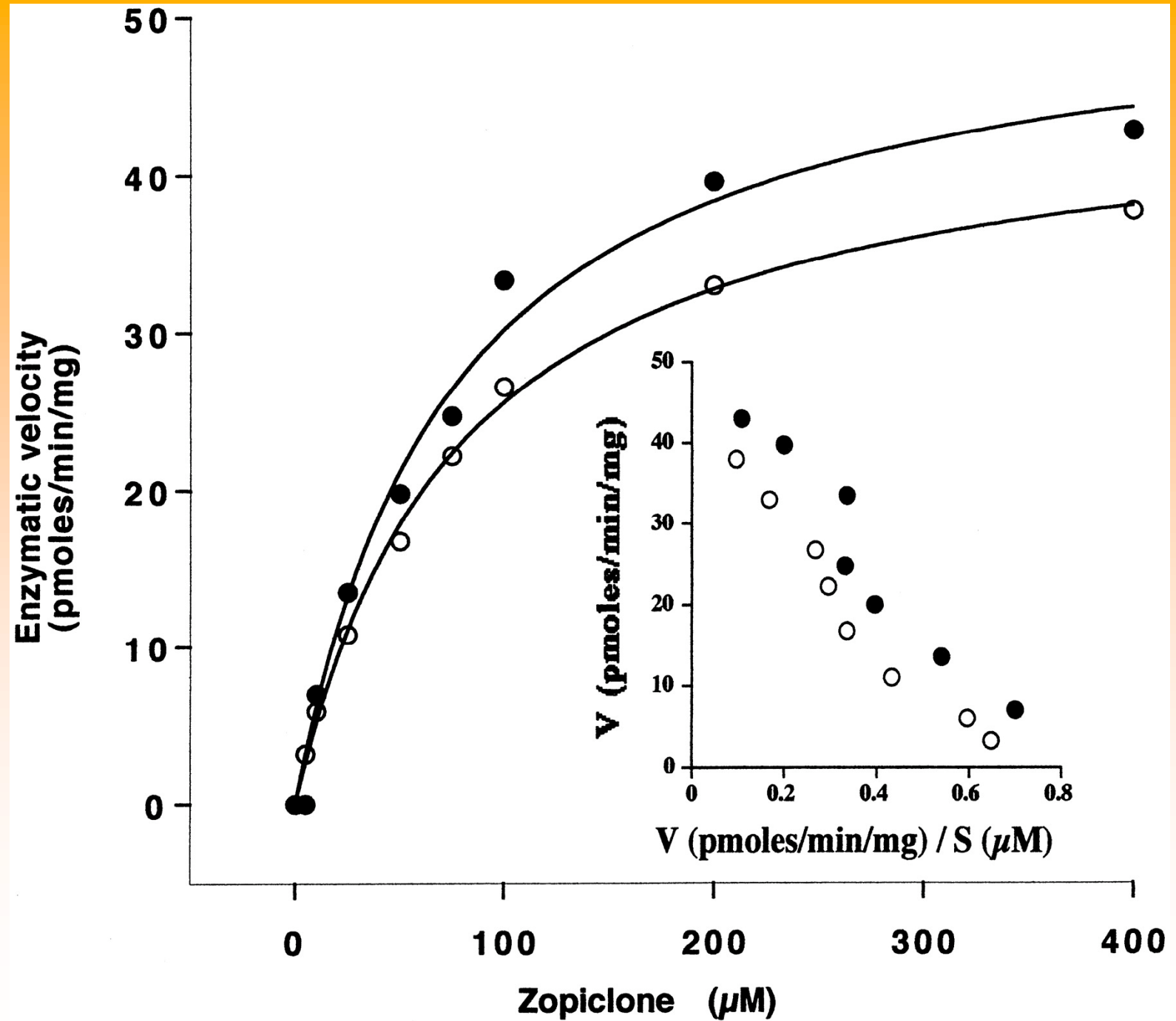


Tableau II : Avantages et limites des modèles d'étude du métabolisme hépatique *in-vitro*

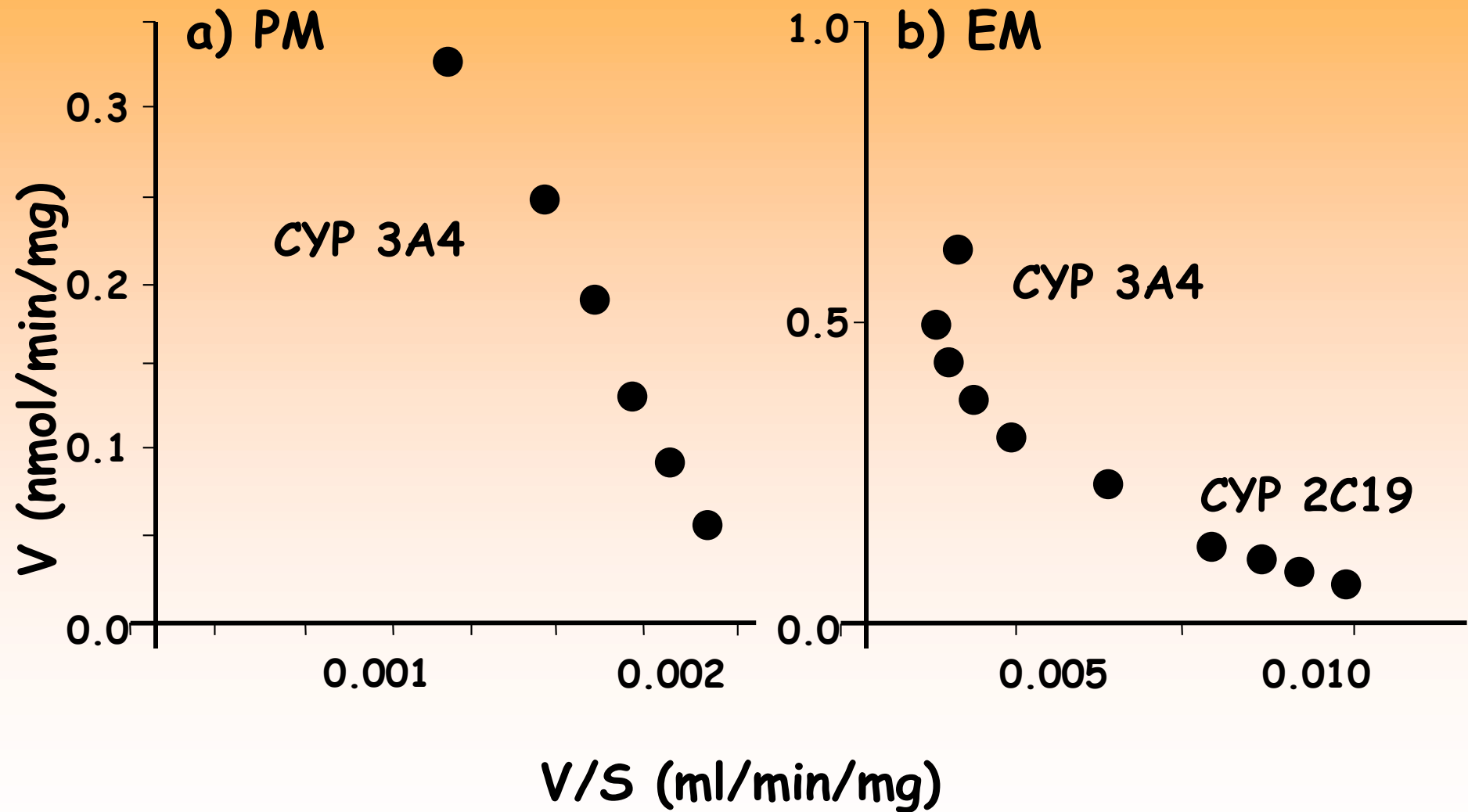
| | Modèle | Avantages | Limites | Utilisation au cours du développement |
|---------------------|------------------------------|--|--|--|
| | Enzymes recombinants | <ul style="list-style-type: none"> - 1 seul enzyme - reproductible - conservation - disponibles +++ - commercialisés | <ul style="list-style-type: none"> - 1 seul enzyme - peu standardisé | <ul style="list-style-type: none"> - Screening +++, détermination des enzymes impliqués dans le métabolisme d'un médicament - Cinétique, - interactions médicamenteuses |
| <i>Tissu humain</i> | Microsomes hépatiques | <ul style="list-style-type: none"> - conservation - système enzymatique intégré : tous les CYP | <ul style="list-style-type: none"> - pas d'enzymes cytosoliques | <ul style="list-style-type: none"> - détermination des enzymes impliqués dans le métabolisme d'un médicament - Cinétique, - interactions médicamenteuses |
| | Hépatocytes | <ul style="list-style-type: none"> - cellule entière* - Disponibles quelques heures à plusieurs jours - Permettent des études d'induction | <ul style="list-style-type: none"> - Disponibilité - conservation | <ul style="list-style-type: none"> - Induction, - Cytotoxicité - Métabolisme phase I, II et III |

* les phases I, II et III du métabolisme sont présentes

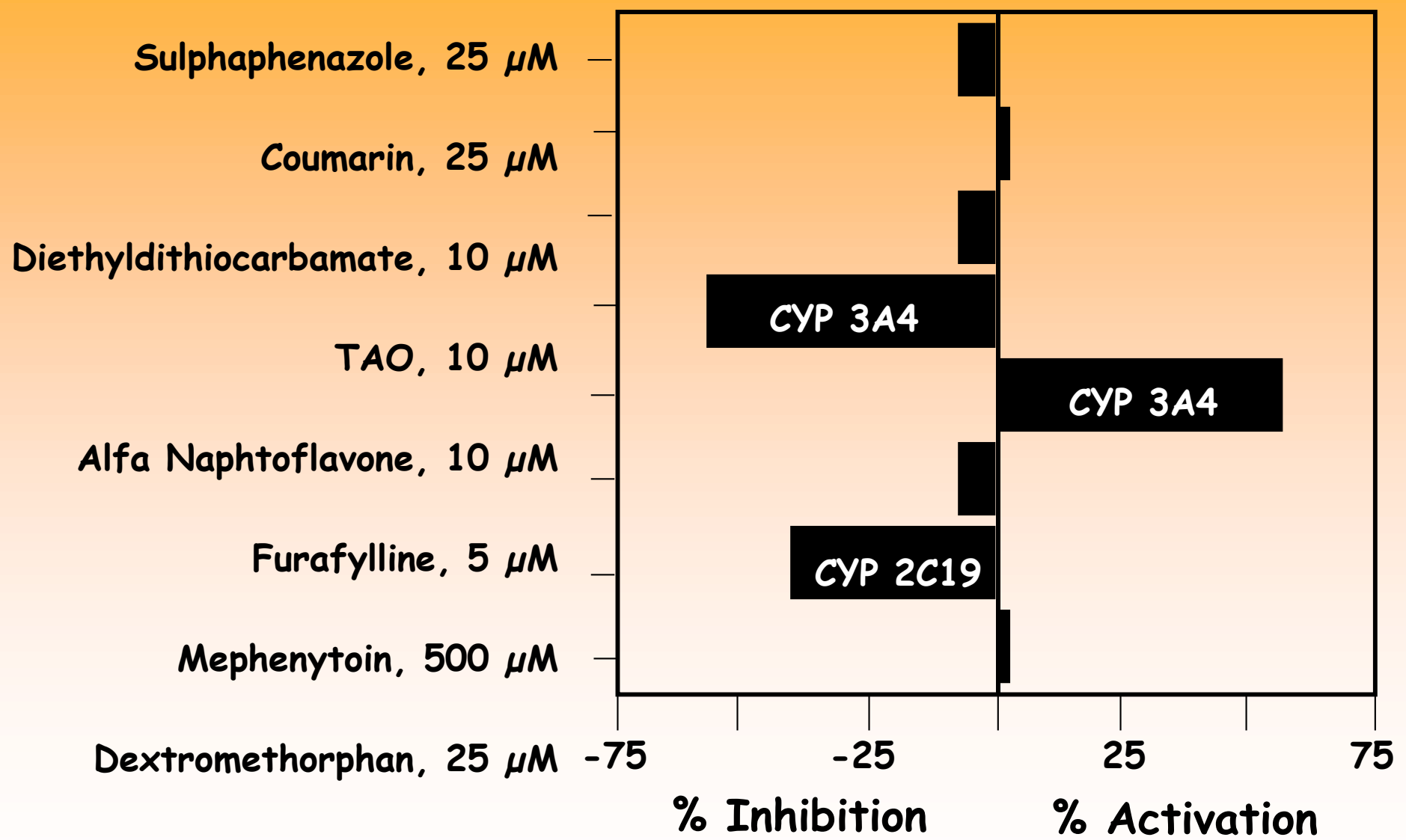
Importance de la Concentration de Substrat utilisée *in vitro* pour la Prédiction du Métabolisme *in vivo*

Les concentrations utilisées *in vitro* doivent être compatibles avec celles obtenues chez l'homme en cours de traitement

DIAZEPAM METABOLISM



PROGUANIL METABOLISM

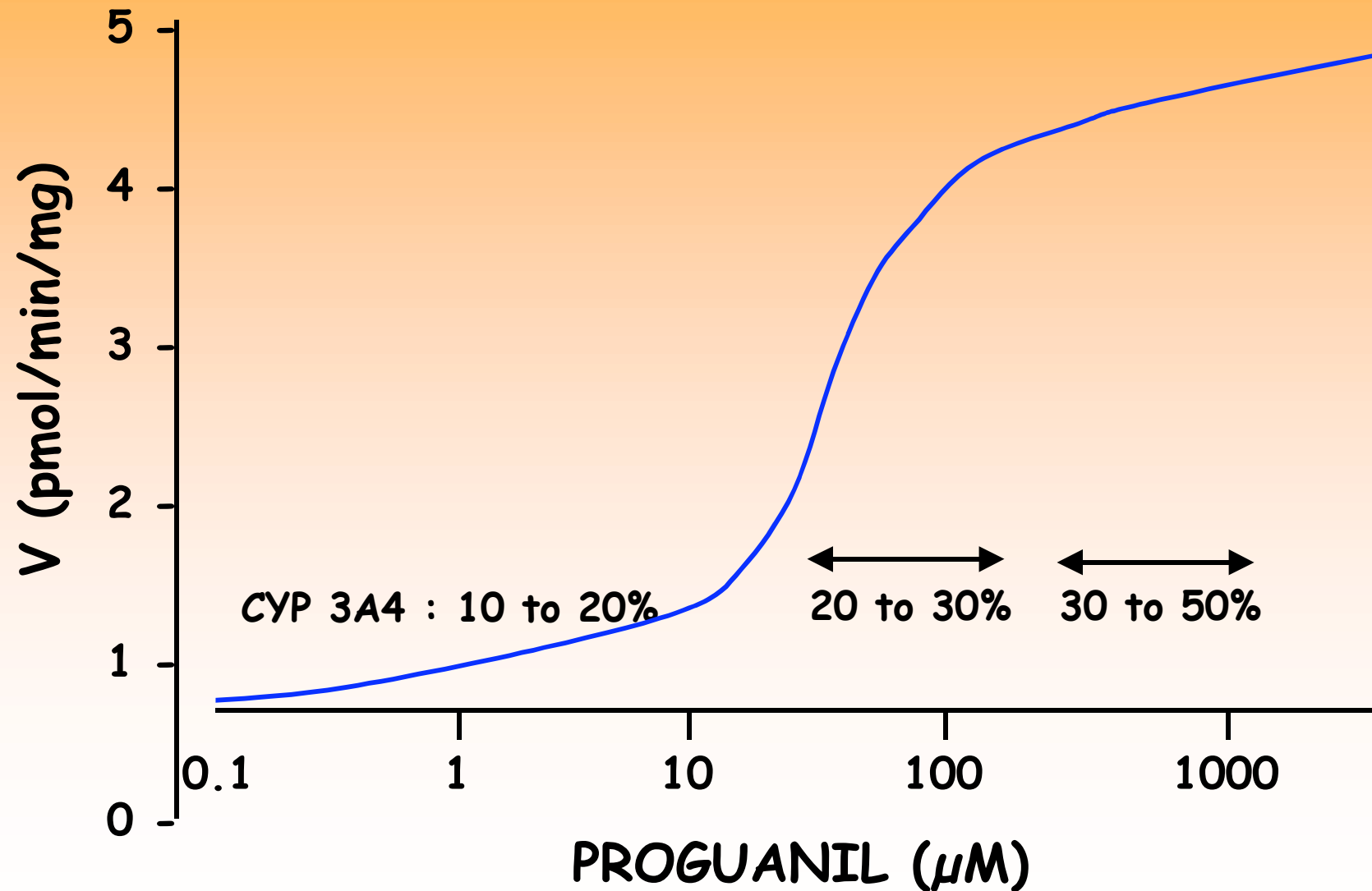


Birkett D.J. Br. J. Clin. Pharmacol., 1994

L. Becquemont UFR Paris-Sud Bicêtre

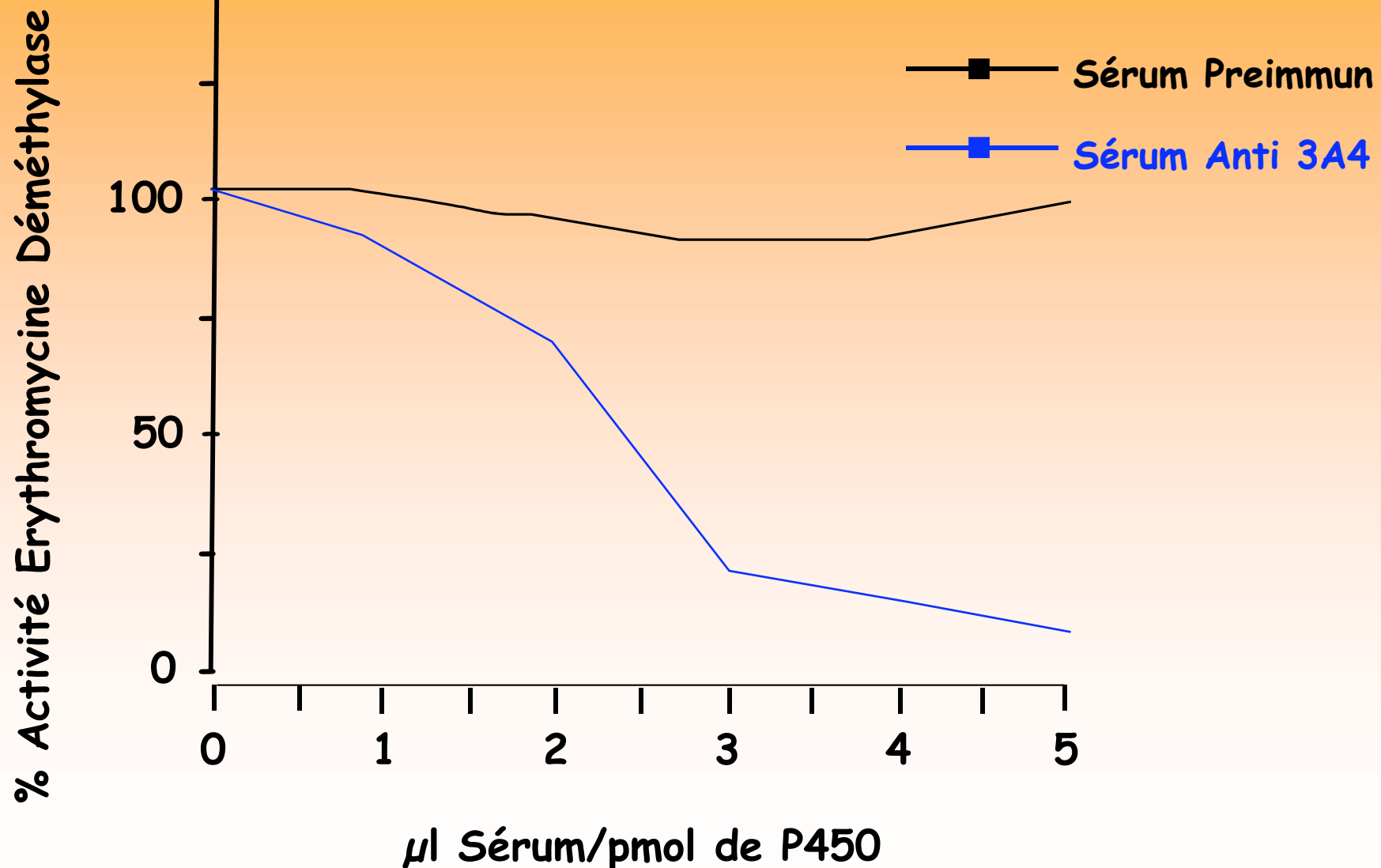
Influence of Substrate

Concentrations Used In Vitro

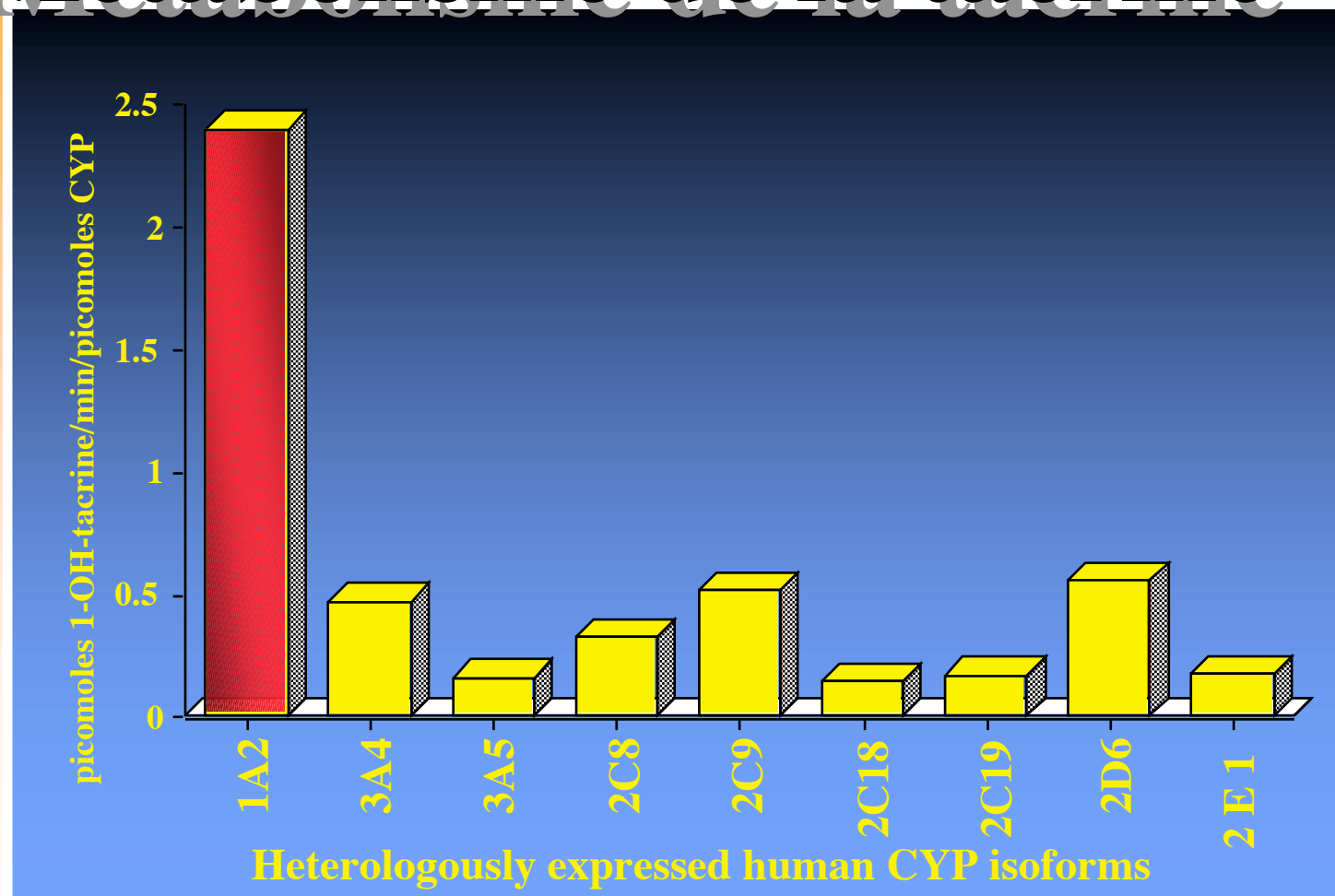


Immunoinhibition de l'Activité

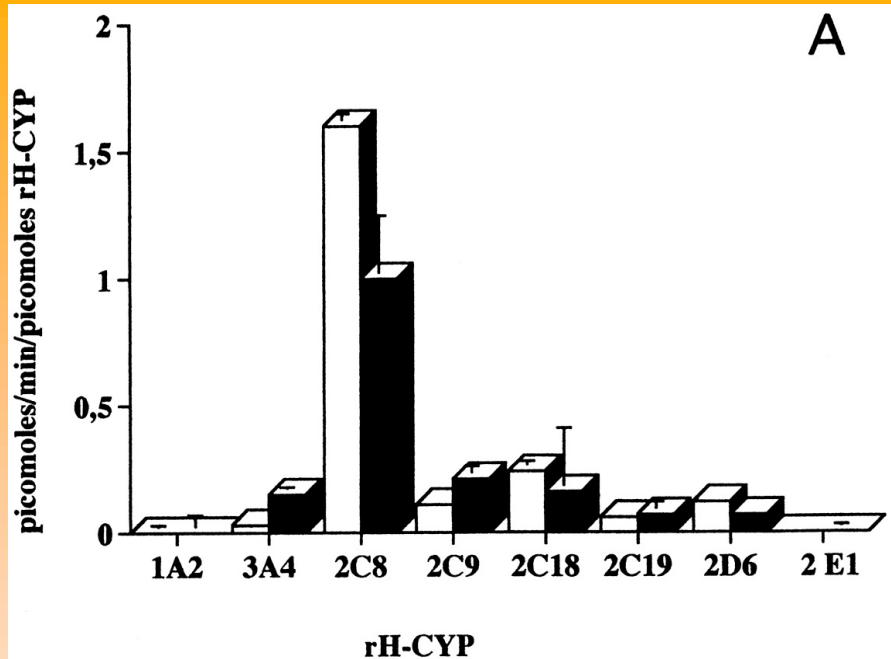
Erythromycine Déméthylase



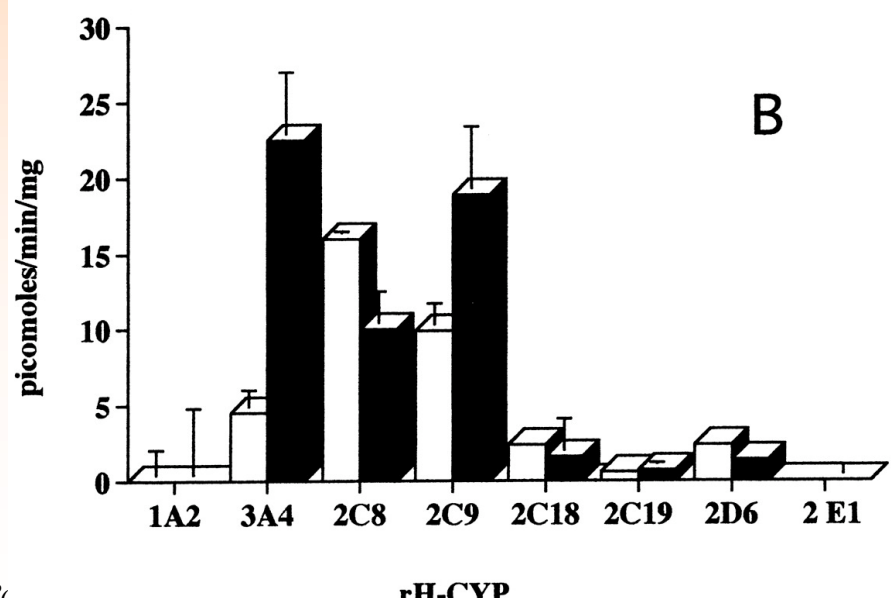
Métabolisme de la tacrine



Pharmacogenetics 1998

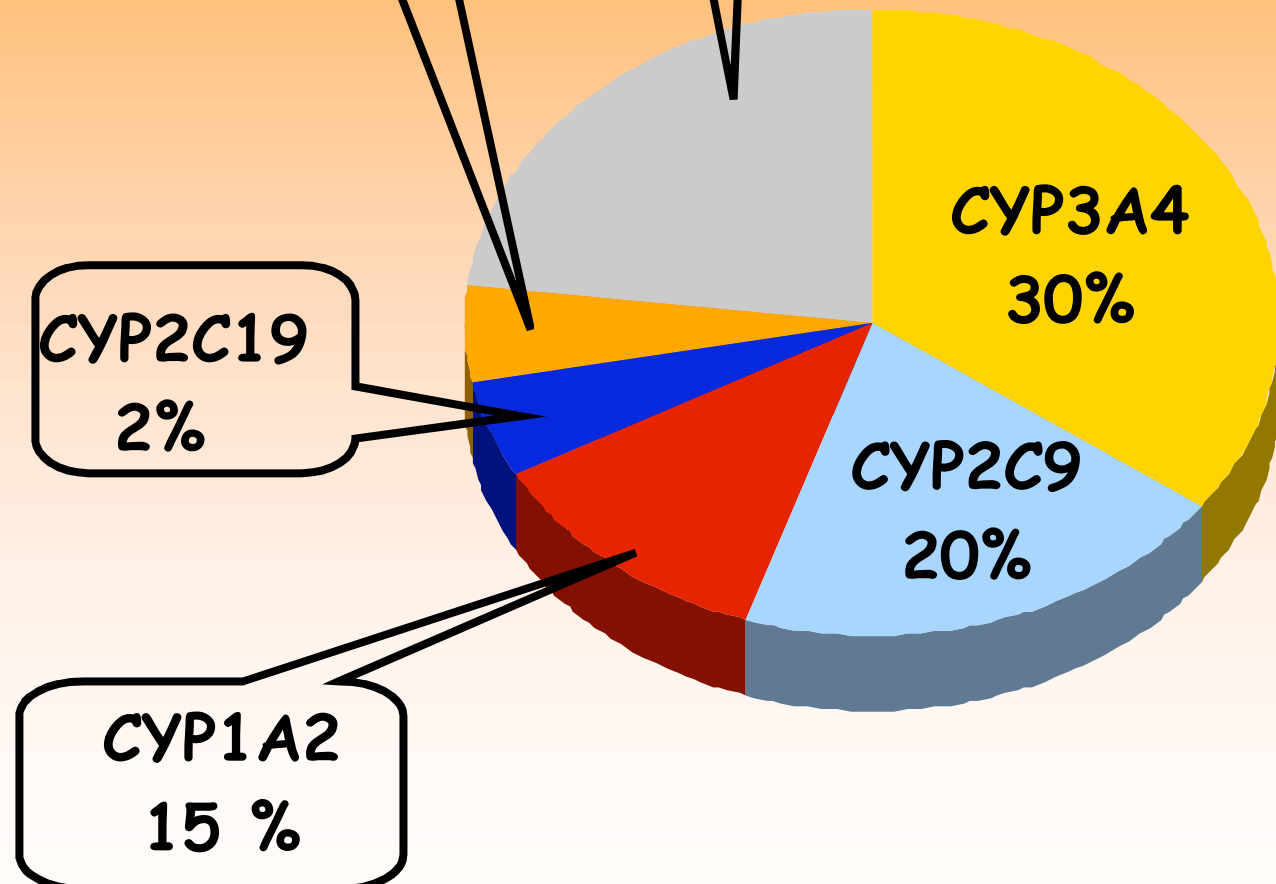


Screening « brut »
Avec CYP Humains
recombinants



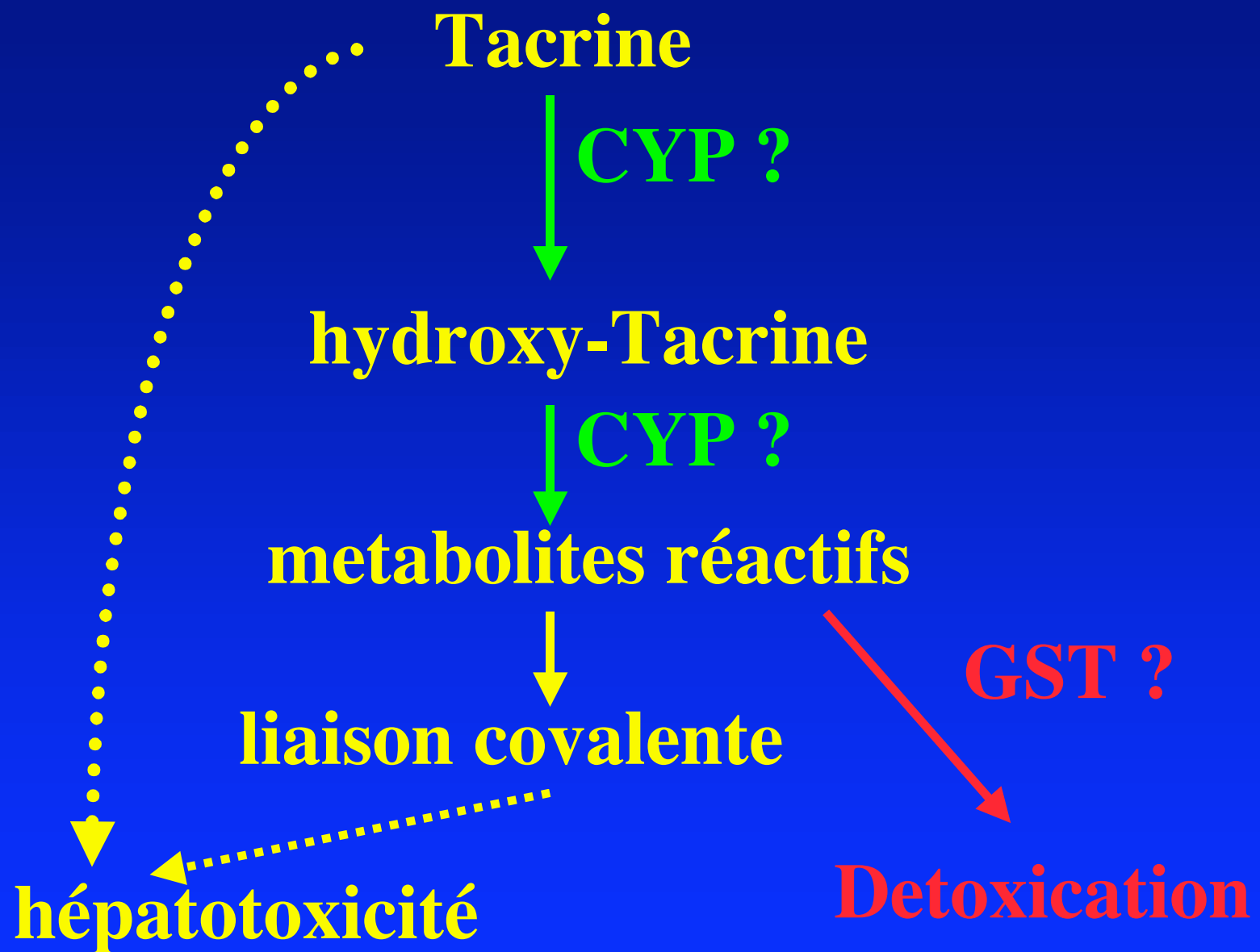
Screening corrigé en fct
du niveau d'expression
moyen des différents
CYP humains
hépatiques

% d'expression relatifs des principaux CYP hépatiques humains impliqués dans le métabolisme des médicaments



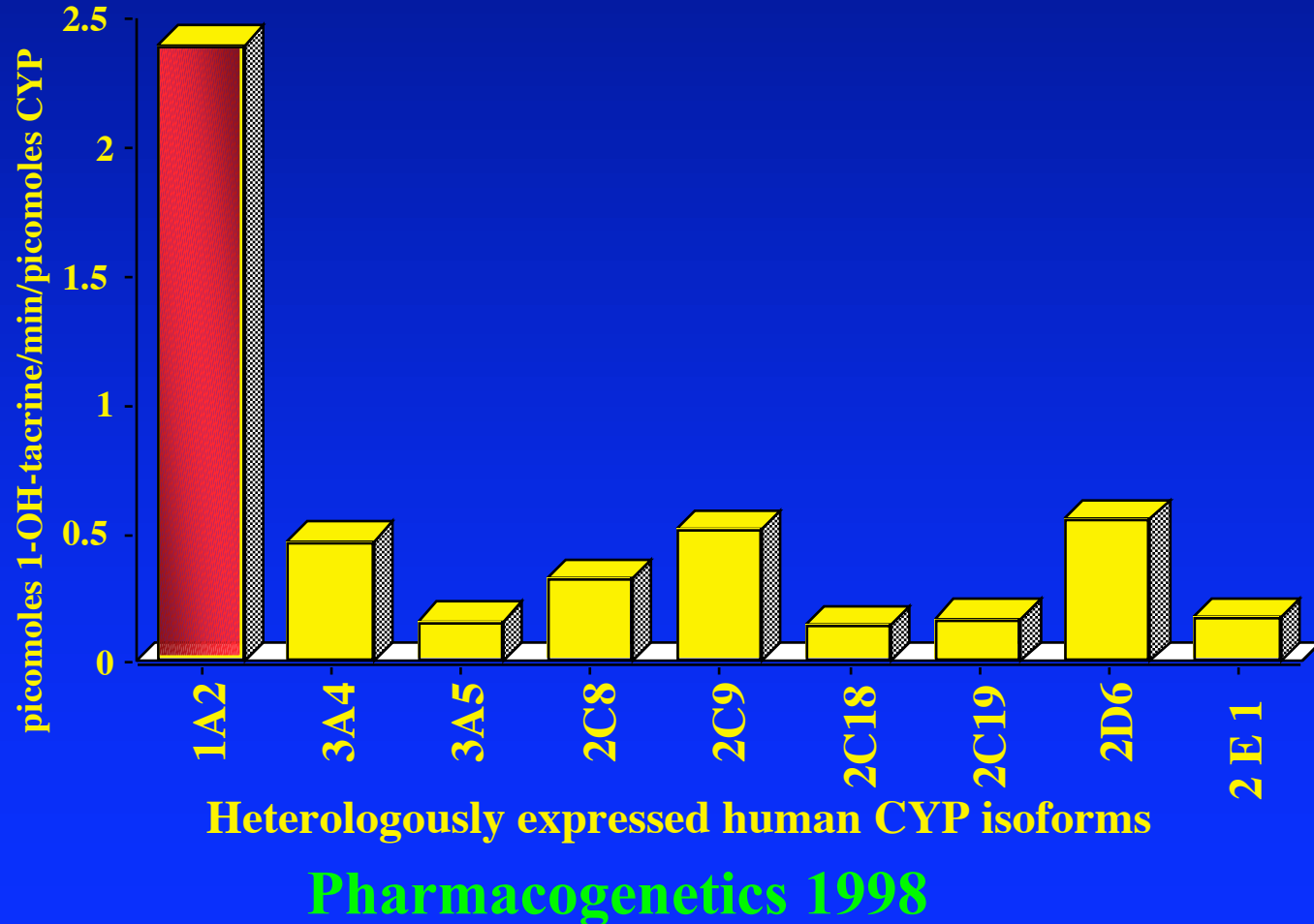
Maladie d'Alzheimer et tacrine (Cognex®)

- 4ième cause de mortalité dans les pays occidentaux
- Un seul traitement disponible : la tacrine (THA)
- 50% des patients traités présentent une élévation des transaminases





Métabolisme de la tacrine



Tacrine



Fluvoxamine inhibition ?

Hydroxy-Tacrine



CYP ?

métabolites réactifs

liaison covalente irréversible

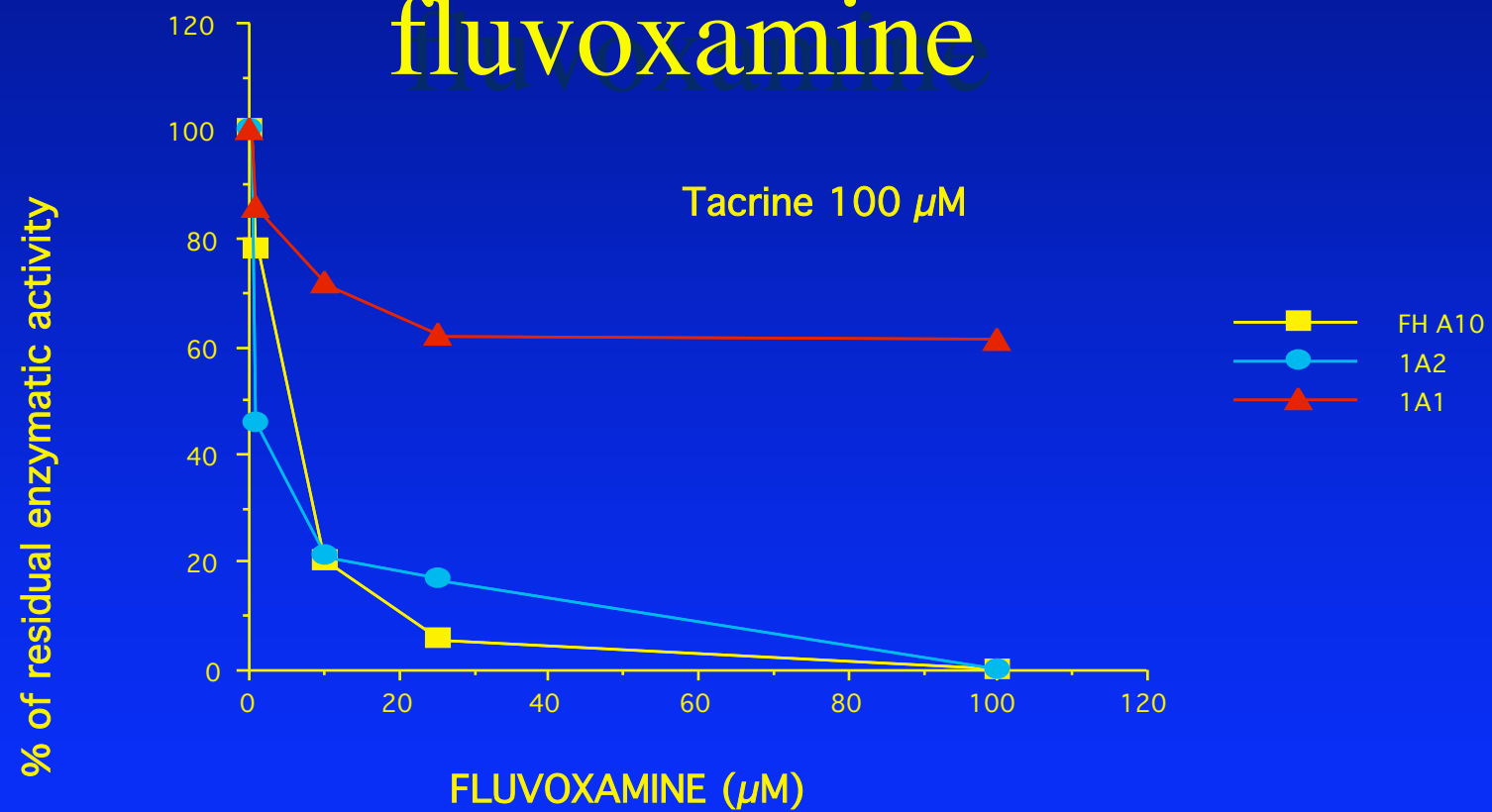


hépatotoxicité ?

GST ?

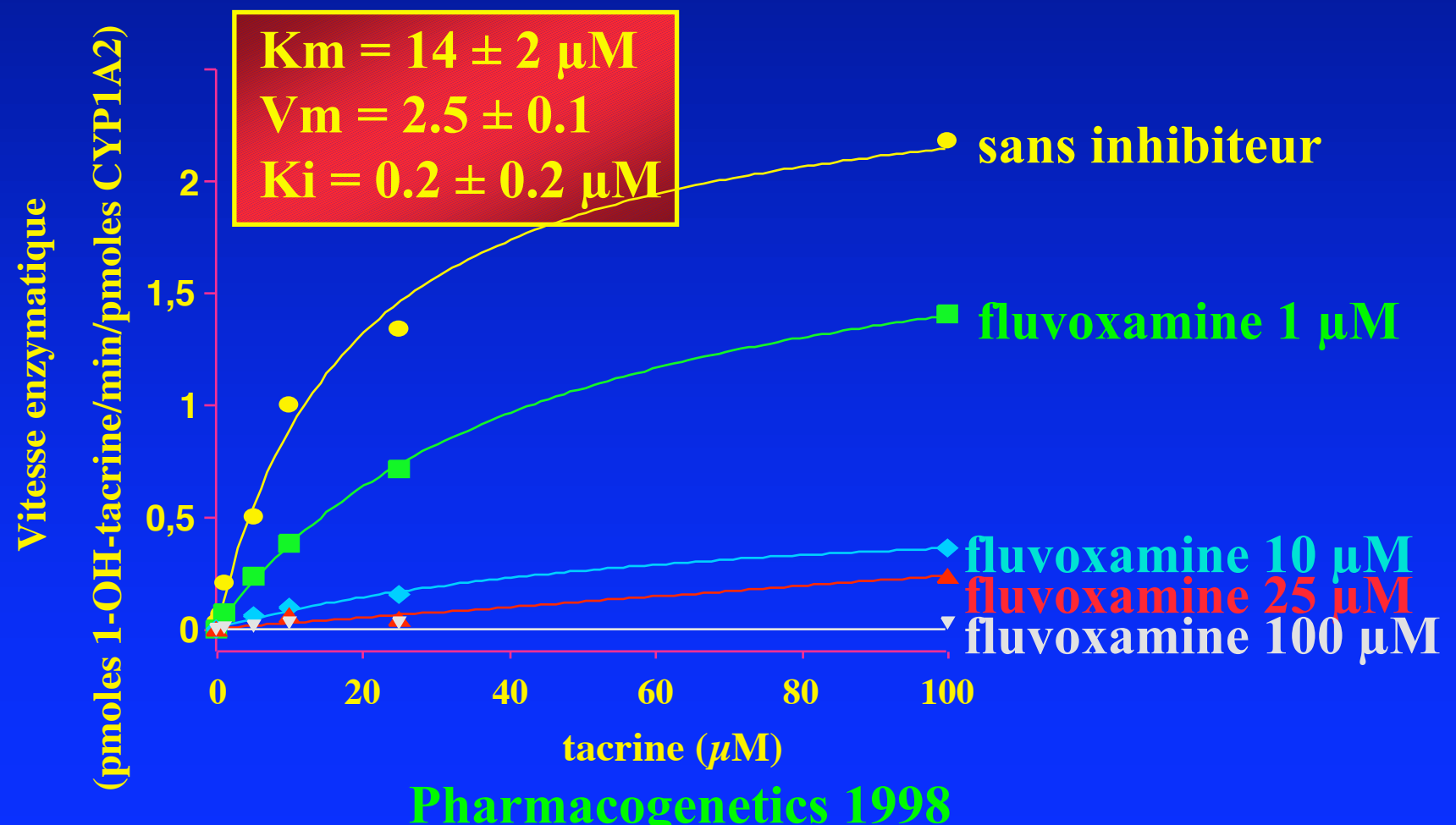
Detoxication

Inhibition du métabolisme *in vitro* de la tacrine par la fluvoxamine

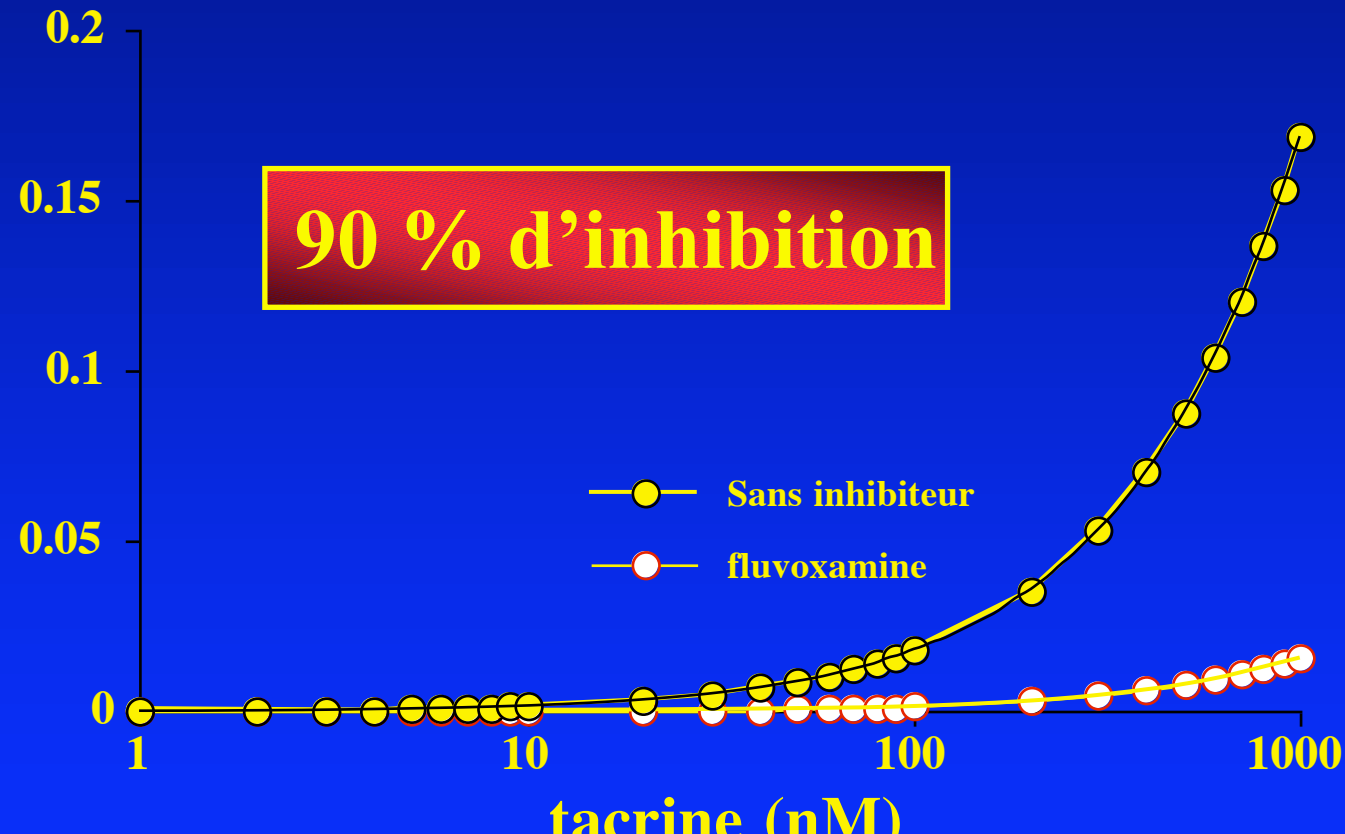


Fund. Clin. Pharmacol. 1996

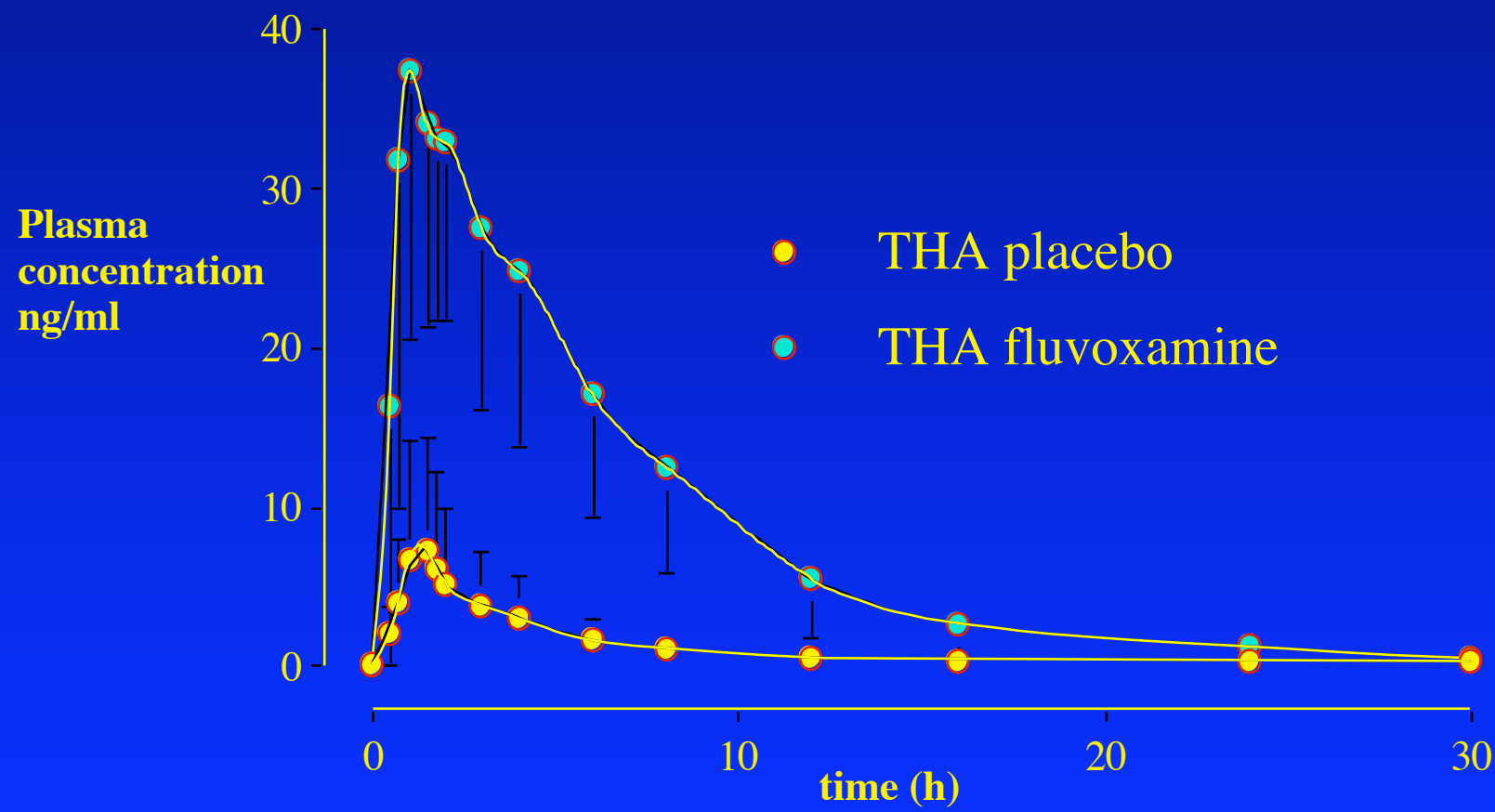
Inhibition du métabolisme *in vitro* de la tacrine par la fluvoxamine



Quantification de l'interaction tacrine - fluvoxamine

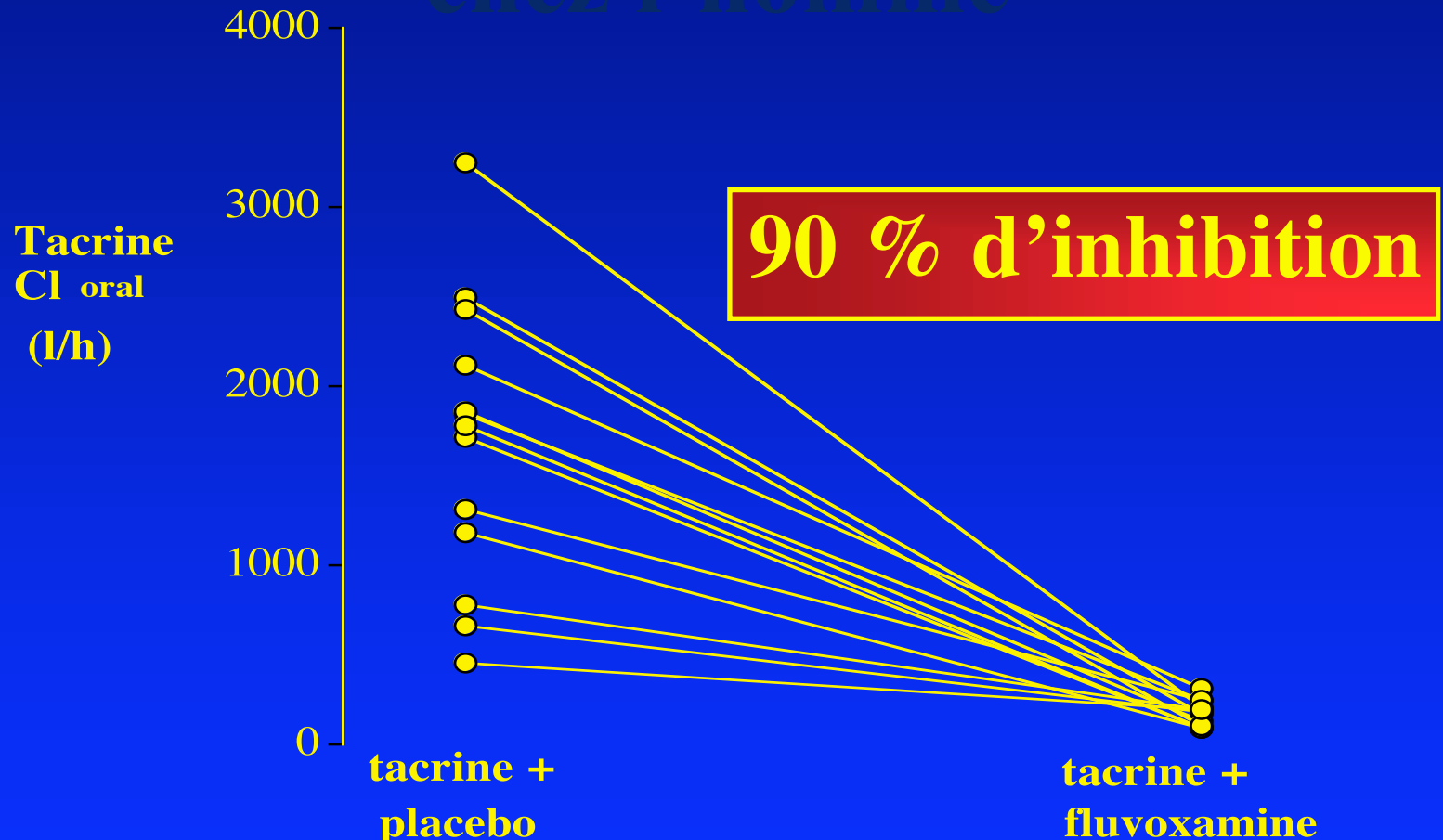


Interaction tacrine-fluvoxamine chez l'homme



Clin. Pharmacol. Ther. 1997

Interaction tacrine-fluvoxamine chez l'homme



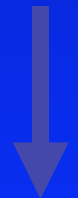
Clin. Pharmacol. Ther. 1997

Interaction proguanil - oméprazole

Proguanil (Paludrine®)

- Prophylaxie des accès palustres
- prodrogue inactive, métabolite actif

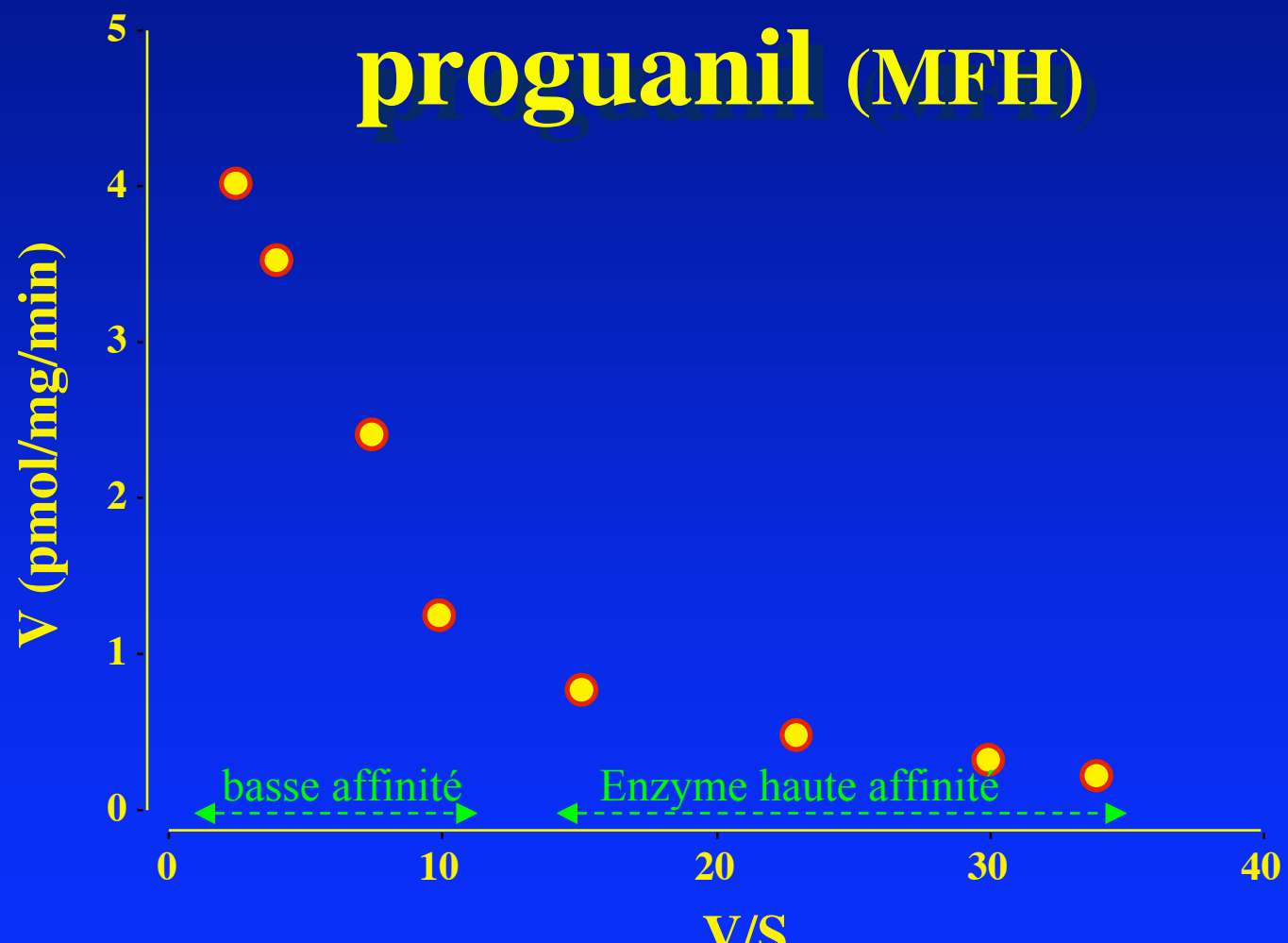
proguanil



CYP3A4 ? CYP2C19 ?

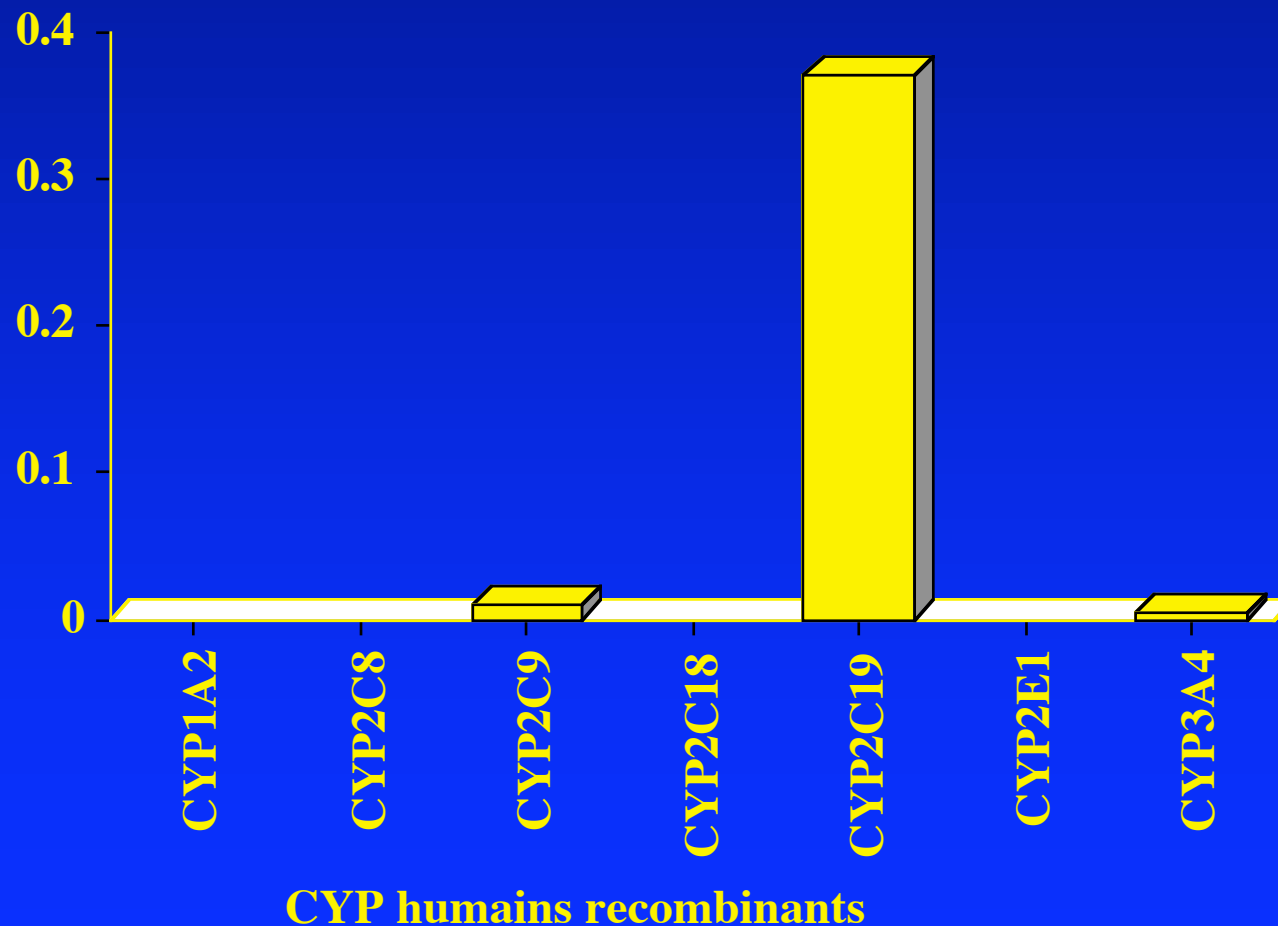
cycloguanil

Métabolisme in vitro du proguanil (MFH)

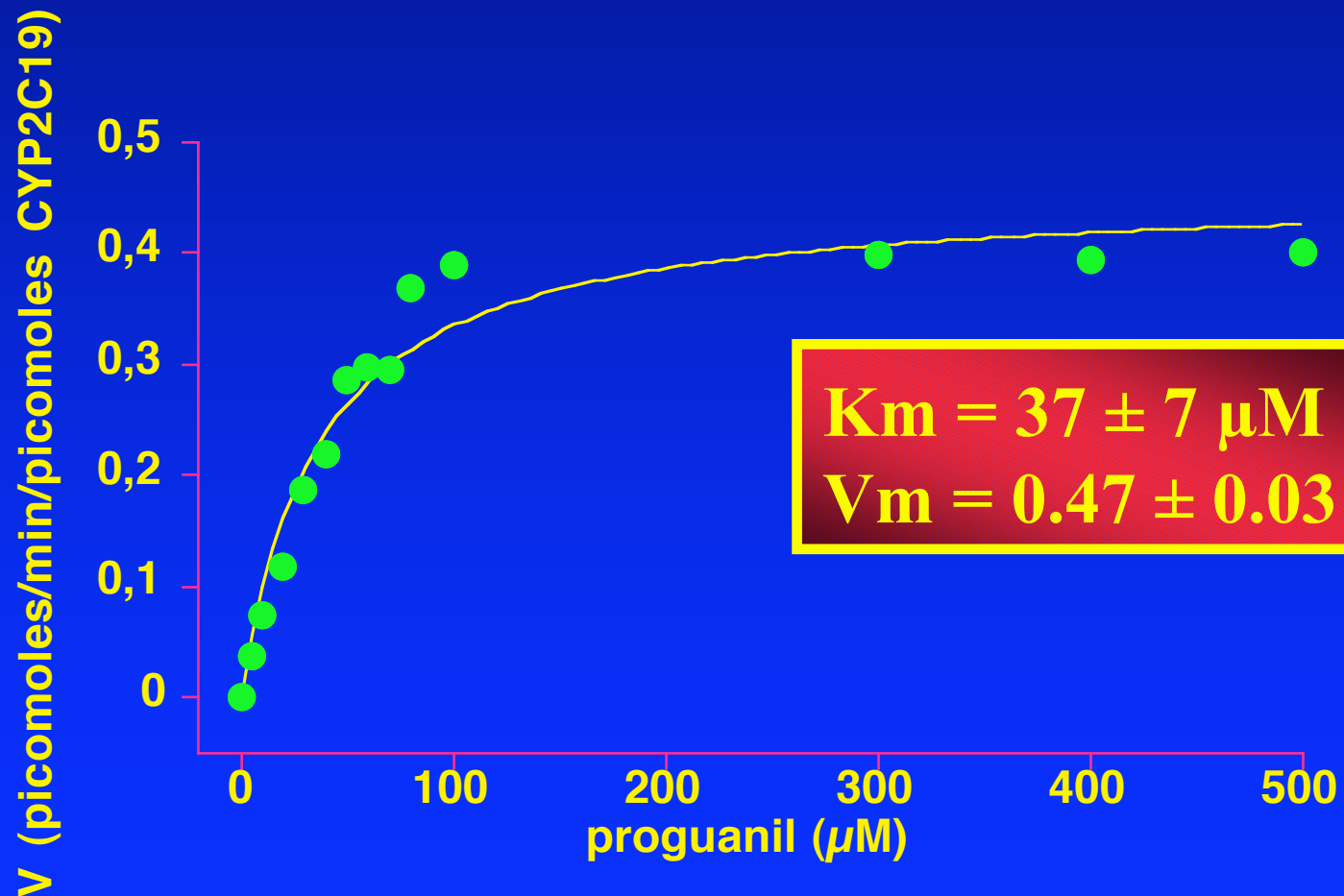


J. Pharm. Exp. Therap 1997

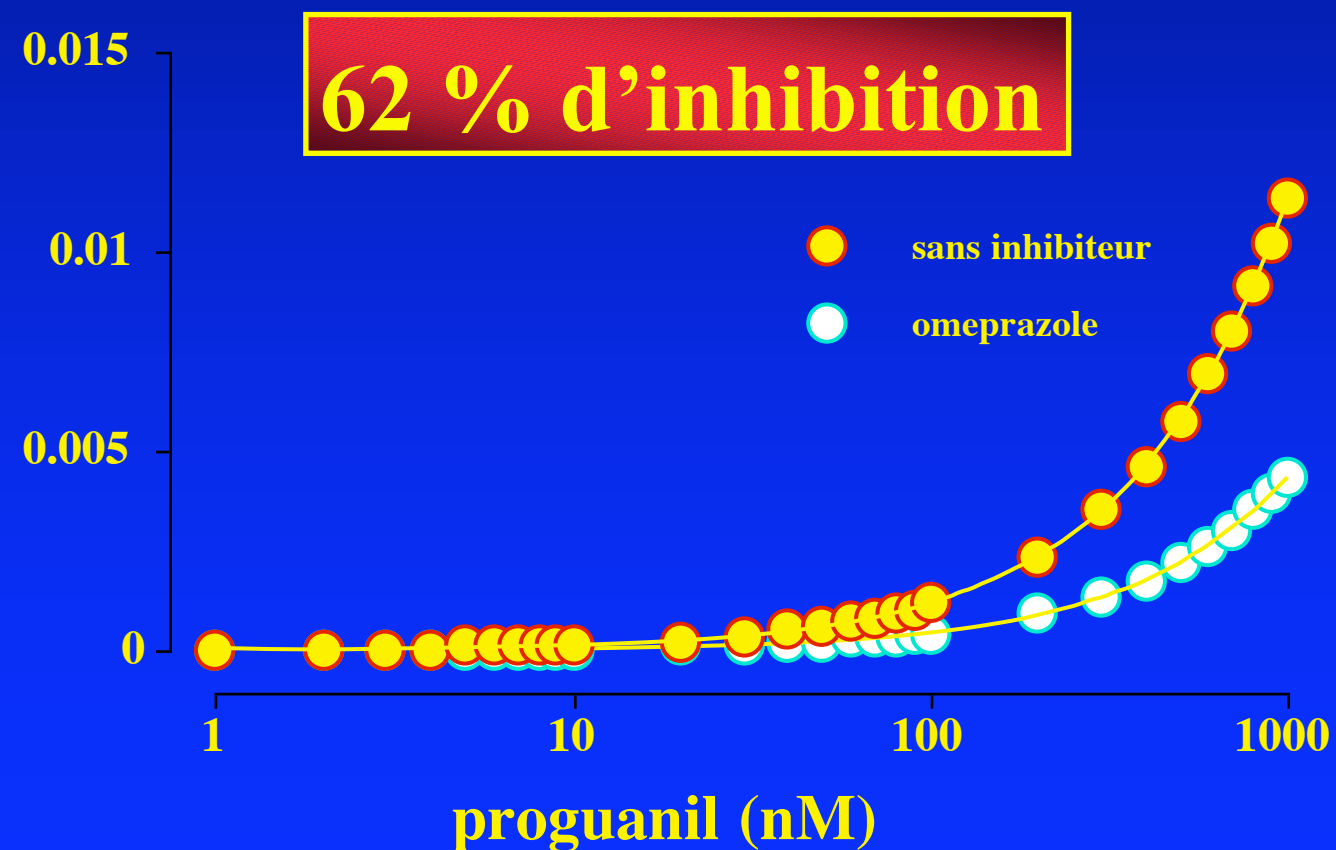
Métabolisme in vitro du proguanil (CYP recombinants)



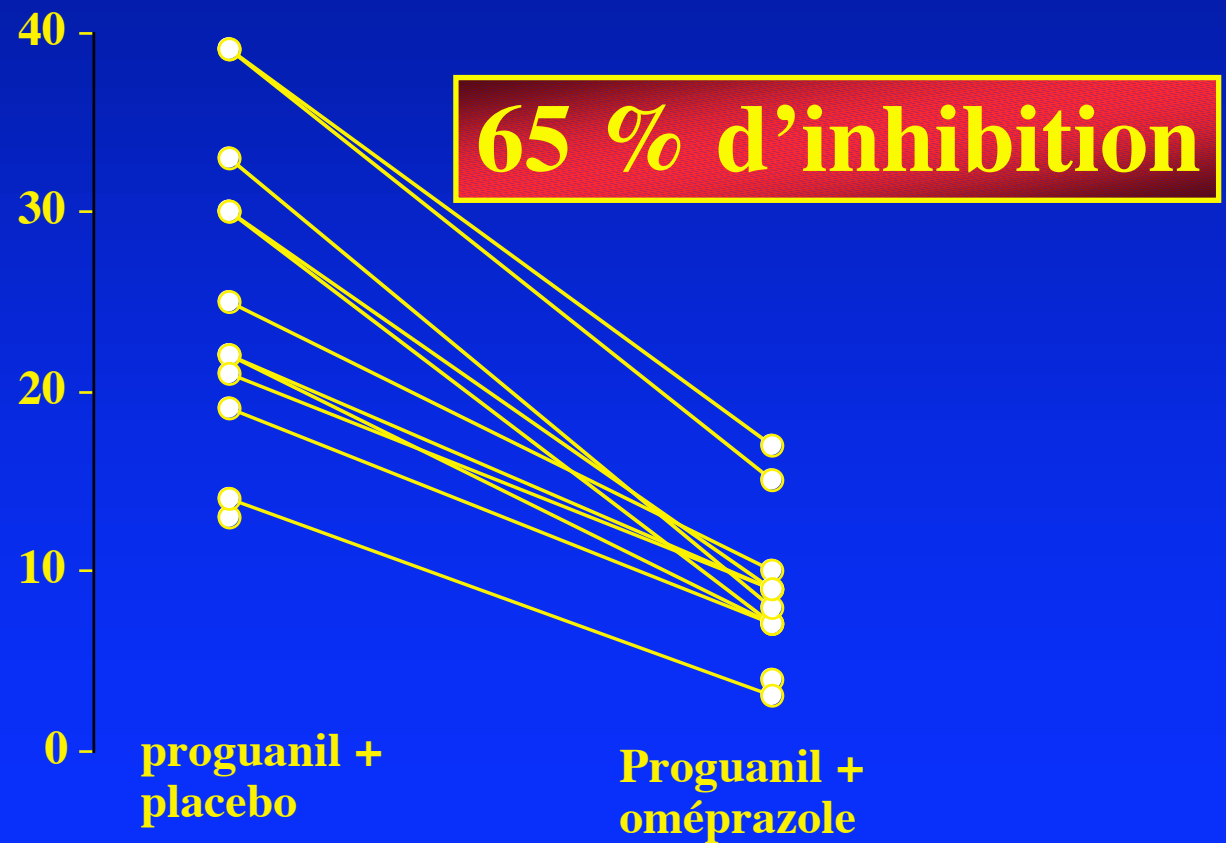
Métabolisme in vitro du proguanil (CYP2C19 recombinant)



Quantification de l'interaction proguanil - omeprazole

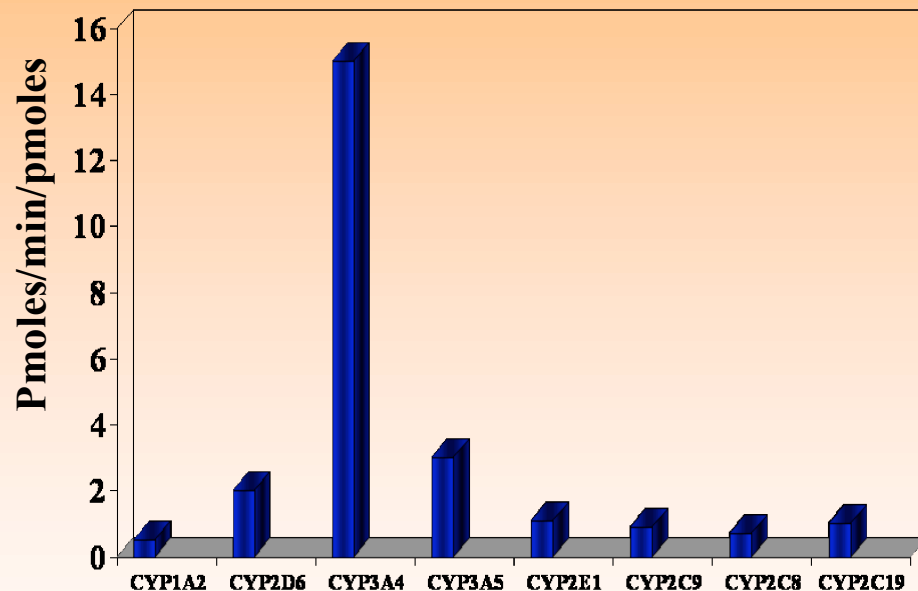


Interaction proguanil-oméprazole chez l'homme

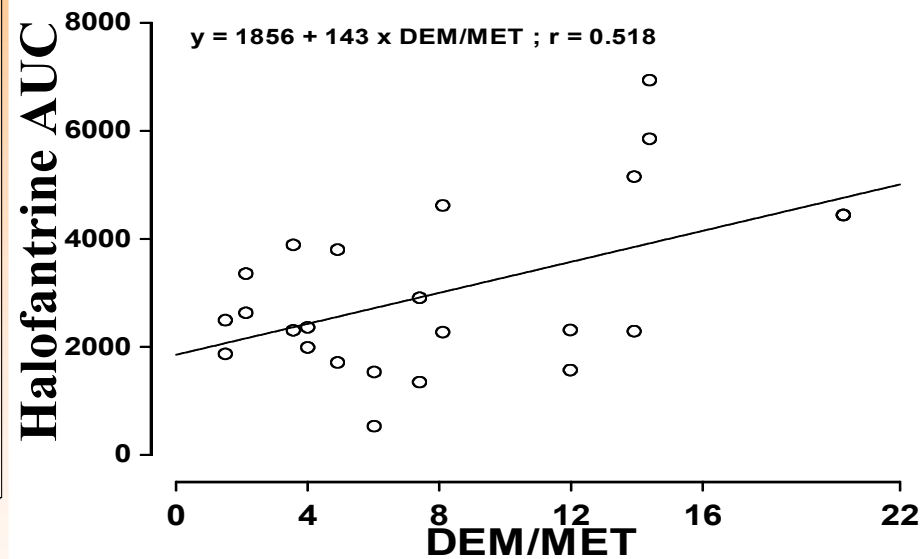


Metabolism of Halofantrine into N-debutyl-Halofantrine

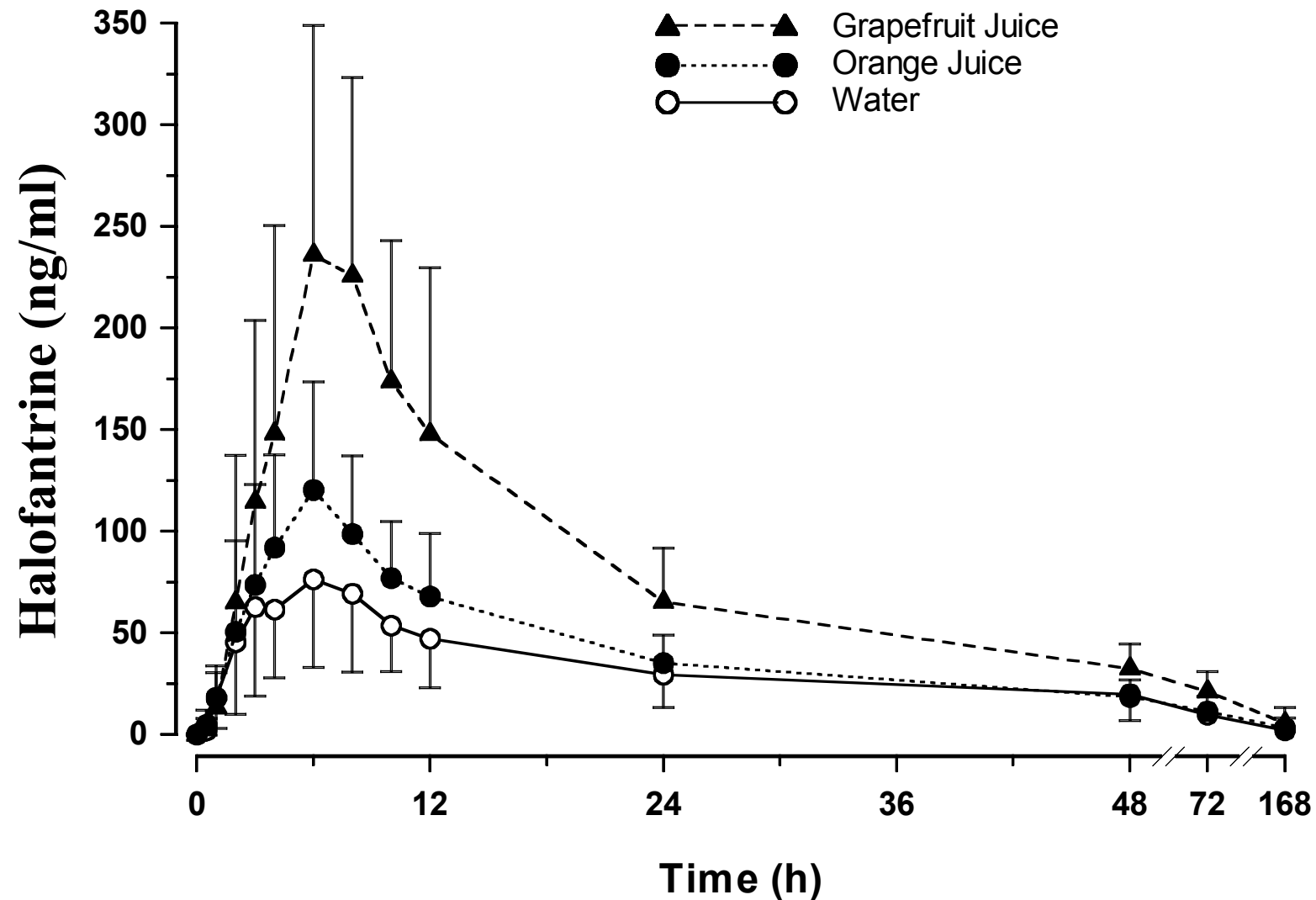
In vitro

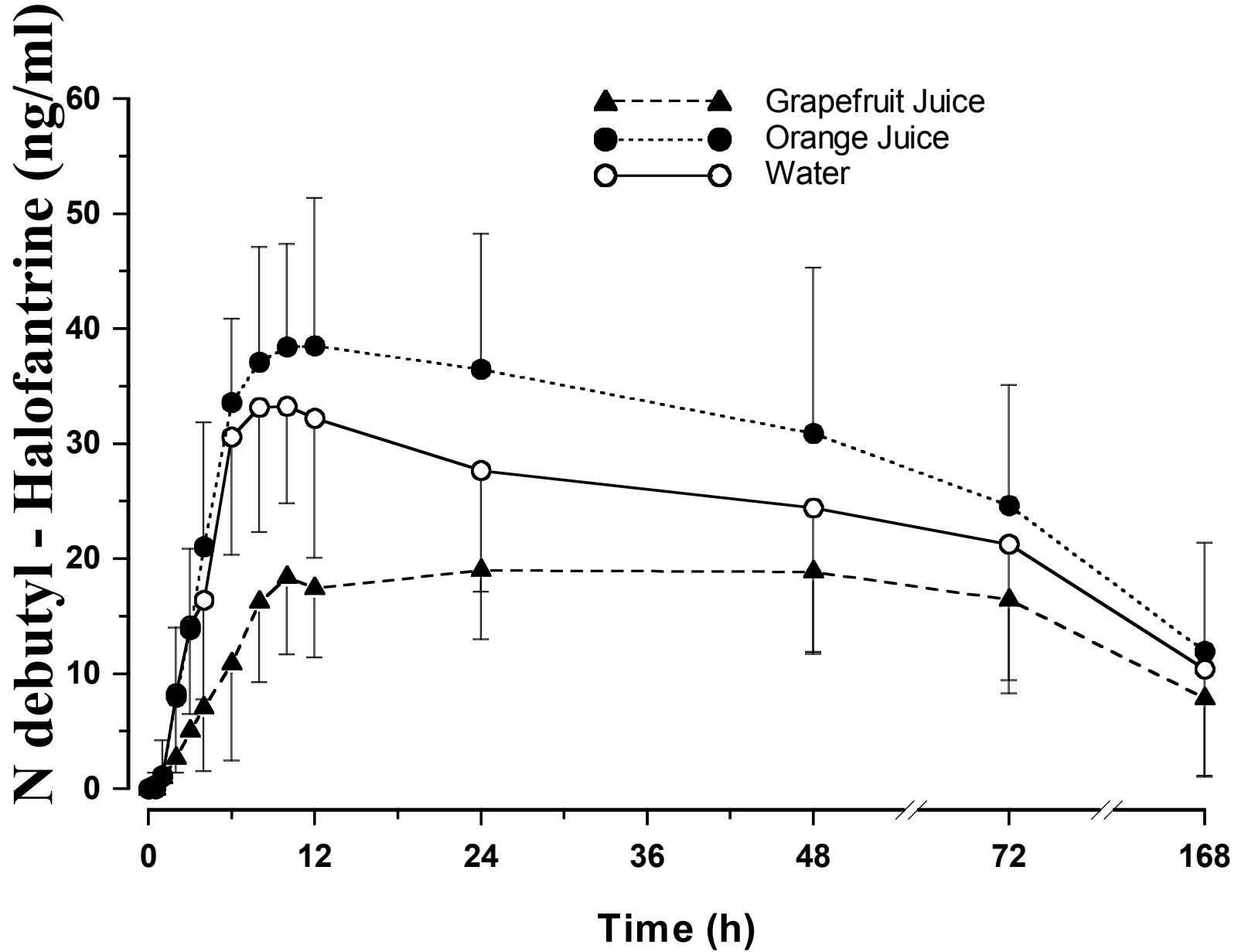


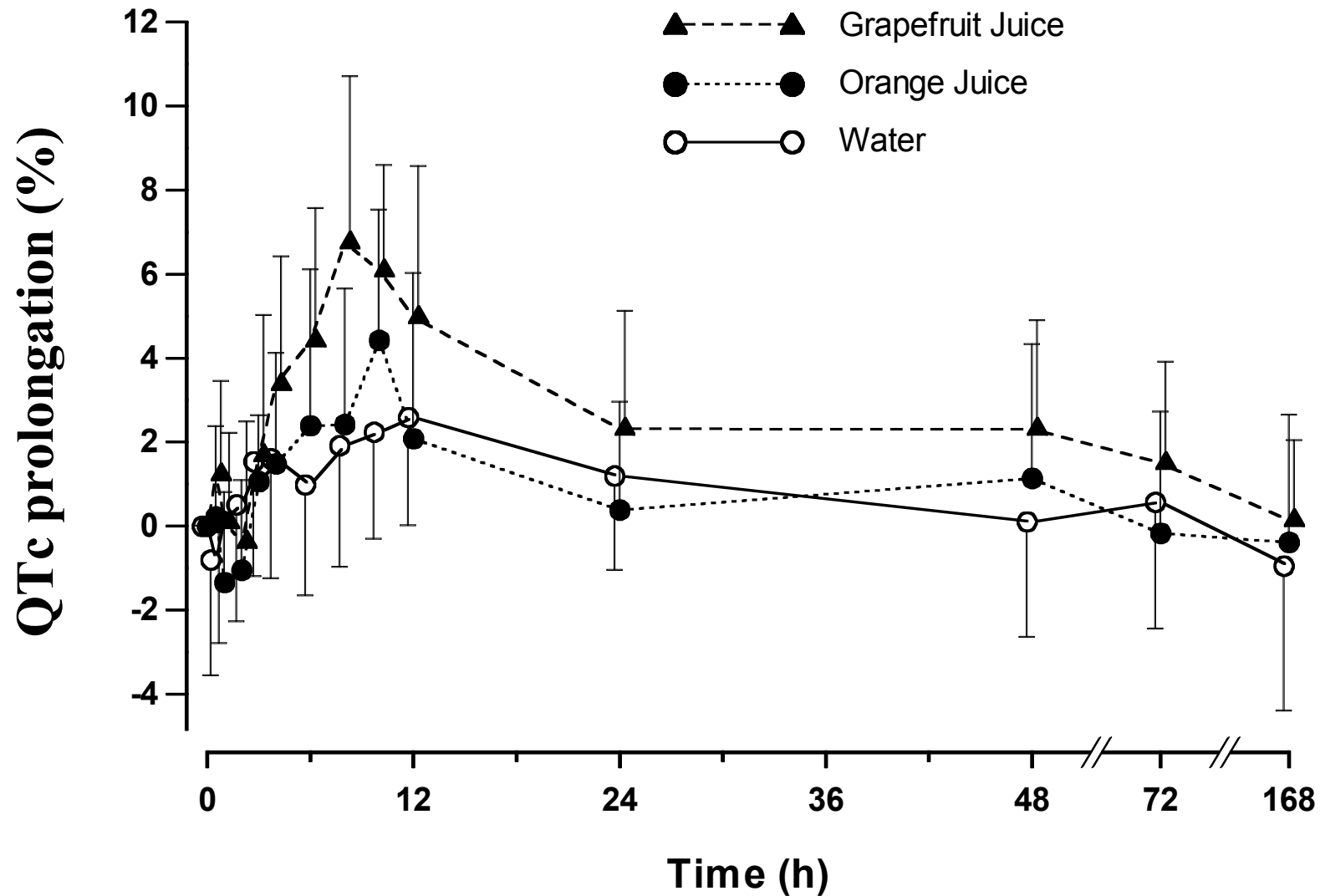
In vivo

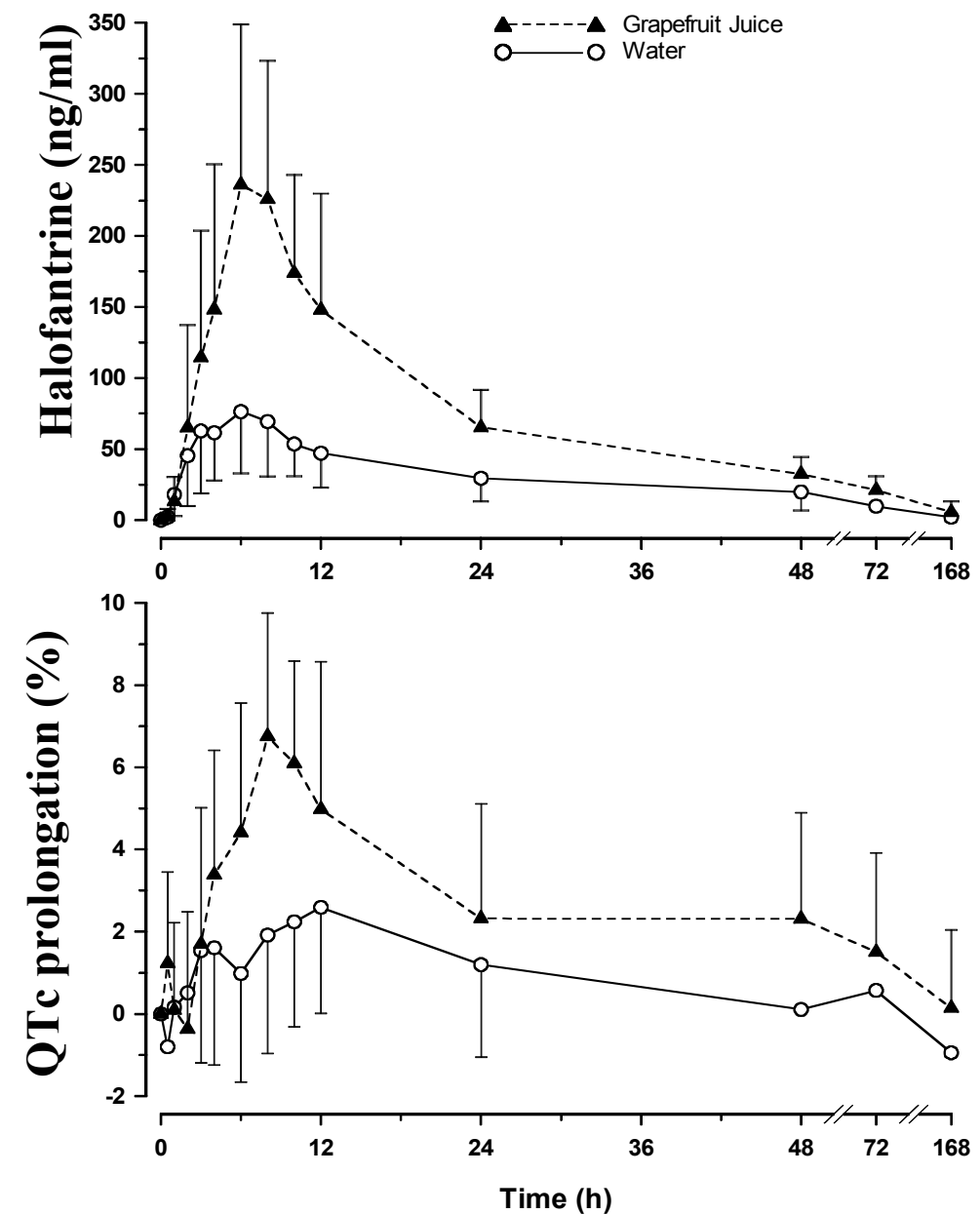


Baune J.Pharm. Pharmacol. 1999









Halofantrine + Grapefruit Juice

500 mg single dose 250 ml/day during 3 days



Interaction Halofantrine-tetracycline

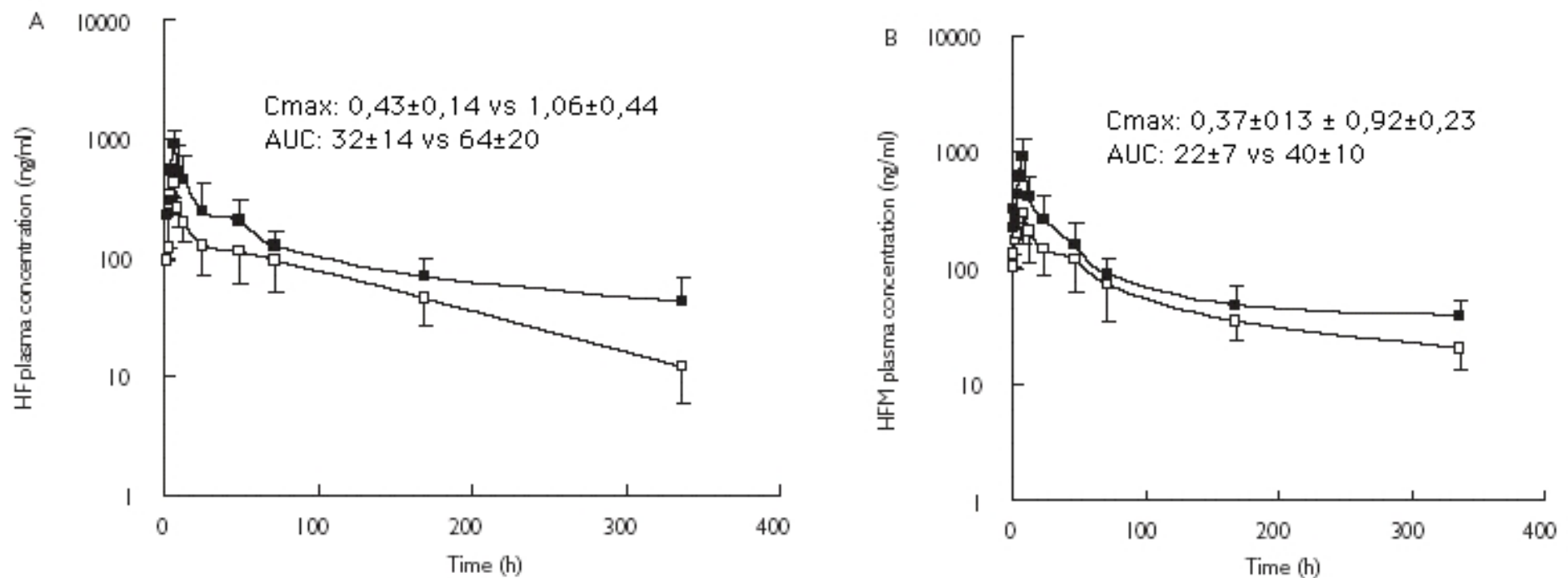


Figure 1

Mean (± SD) plasma concentration vs time profiles for halofantrine (A) HF alone (□), HF with TCN (■); and HFM (B) HFM (without TCN) (□), HFM (TCN presence) (■); following oral administration of single doses of 500 mg of halofantrine HCl alone, and with tetracycline (TCN, 500 mg 12 hourly for 7 days), to eight subjects

Aflatoxin B₁ (*Asp flavus*, food infection)

CYP

***exo* AFBO**
genotoxic

Hepatocarcinoma

Glutathione conjugation

GST

AFB₁-SG
Detoxication

Aflatoxin B₁ (*Asp flavus*, food infection)

CYP

exo AFBO
genotoxic

Oltipraz
GST inducer

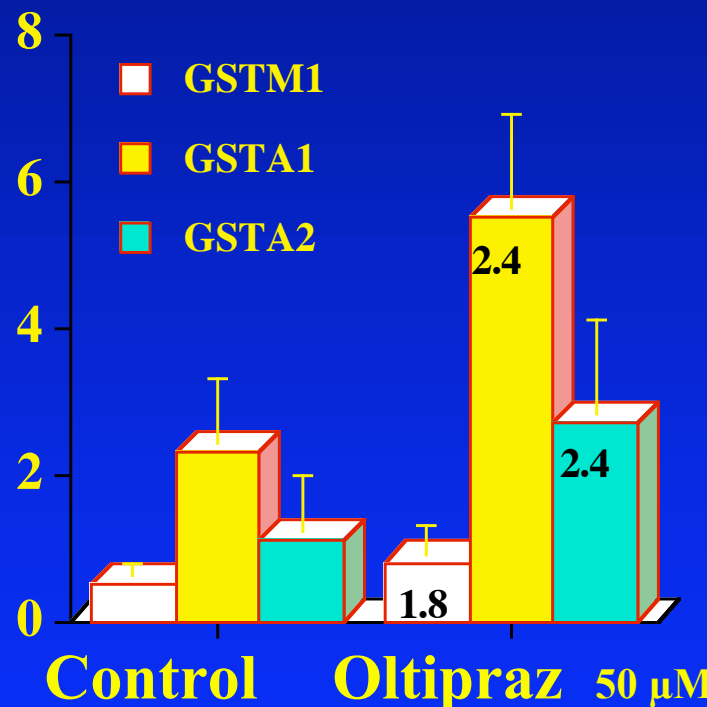
Glutathione conjugation

GST

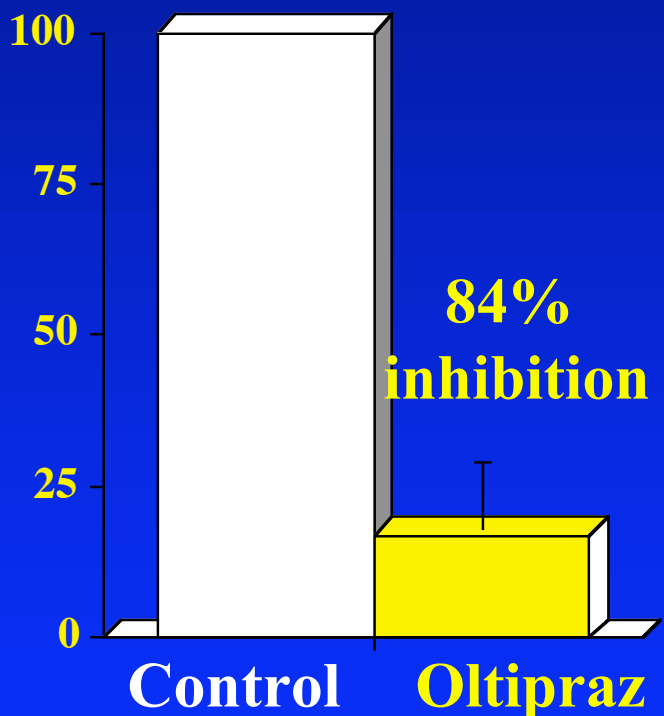
Hepatocarcinoma

AFB₁-SG
Detoxication

Oltipraz-Aflatoxin B1 detoxication

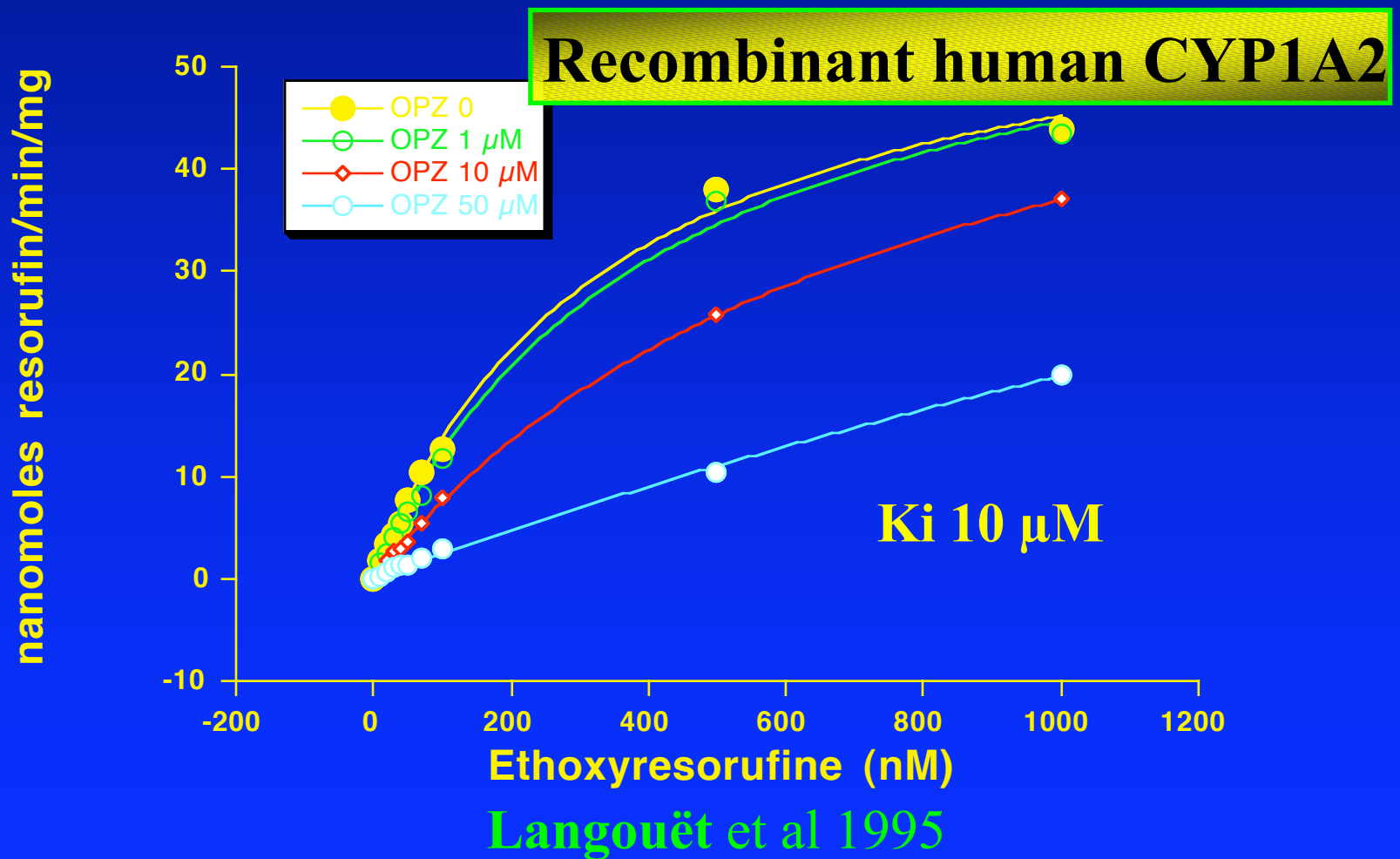


GST induction in
primary human hepatocyte cell culture



Langouët et al 1995

Oltipraz - CYP1A2 inhibition



Aflatoxin B₁ (*Asp flavus*, food infection)

CYP1A2

exo AFBO
genotoxic

Oltipraz
CYP1A2 inhibitor

Hepatocarcinoma

Glutathione conjugation

GST

AFRSG
Detoxication

Effects of clarithromycin on the metabolism of omeprazole in relation to *CYP2C19* genotype status in humans

Contact : marie-France.dauby@bct.ap-hop-paris.fr

Background and purpose: A triple therapy with omeprazole, amoxicillin (INN, amoxicilline), and clarithromycin is widely used for the eradication of *Helicobacter pylori*. Omeprazole and clarithromycin are metabolized by CYP2C19 and CYP3A4. This study aimed to elucidate whether clarithromycin affects the metabolism of omeprazole.

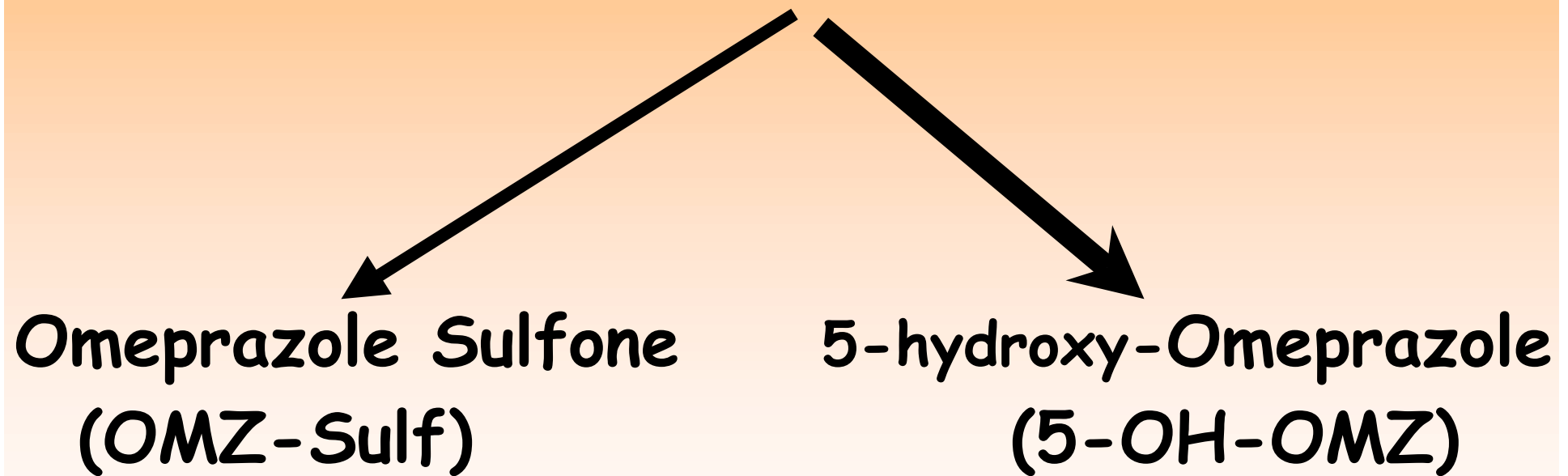
Methods: After administration of placebo or 400 mg clarithromycin twice a day for 3 days, 20 mg omeprazole and placebo or 400 mg clarithromycin were administered to 21 healthy volunteers. Plasma concentrations of omeprazole and clarithromycin and their metabolites were determined before and 1, 2, 3, 5, 7, 10, and 24 hours after dosing. CYP2C19 genotype status was determined by a polymerase chain reaction-restriction fragment length polymorphism (PCR-RFLP) method.

Results: Subjects were classified into three groups on the basis of PCR-RFLP analyses for CYP2C19: homozygous extensive metabolizer group ($n = 6$), heterozygous extensive metabolizer group ($n = 11$), and poor metabolizer group ($n = 4$). Mean area under the plasma concentration-time curves from 0 to 24 hours (AUC) of omeprazole in the homozygous extensive metabolizer, heterozygous extensive metabolizer, and poor metabolizer groups were significantly increased by clarithromycin from 383.9 to 813.1, from 1001.9 to 2110.4, and from 5589.7 to 13098.6 ng · h/mL, respectively. There were significant differences in the mean AUC values of clarithromycin among the three groups.

Conclusion: Clarithromycin inhibits the metabolism of omeprazole. Drug interaction between clarithromycin and omeprazole may underlie high eradication rates achieved by triple therapy with omeprazole, amoxicillin, and clarithromycin. (Clin Pharmacol Ther 1999;66:265-74.)

Takahisa Furuta, MD, Kyoichi Ohashi, MD, Kaoru Kobayashi, PhD,
Izumi Iida, PhD, Hideo Yoshida, PhD, Naohito Shirai, MD,
Misako Takashima, MD, Kazuhiro Kosuge, PhD, Hiroyuki Hanai, MD,
Kan Chiba, PhD, Takashi Ishizaki, MD, and Eizo Kaneko, MD *Hamamatsu, Japan*

Omeprazole (OMZ)



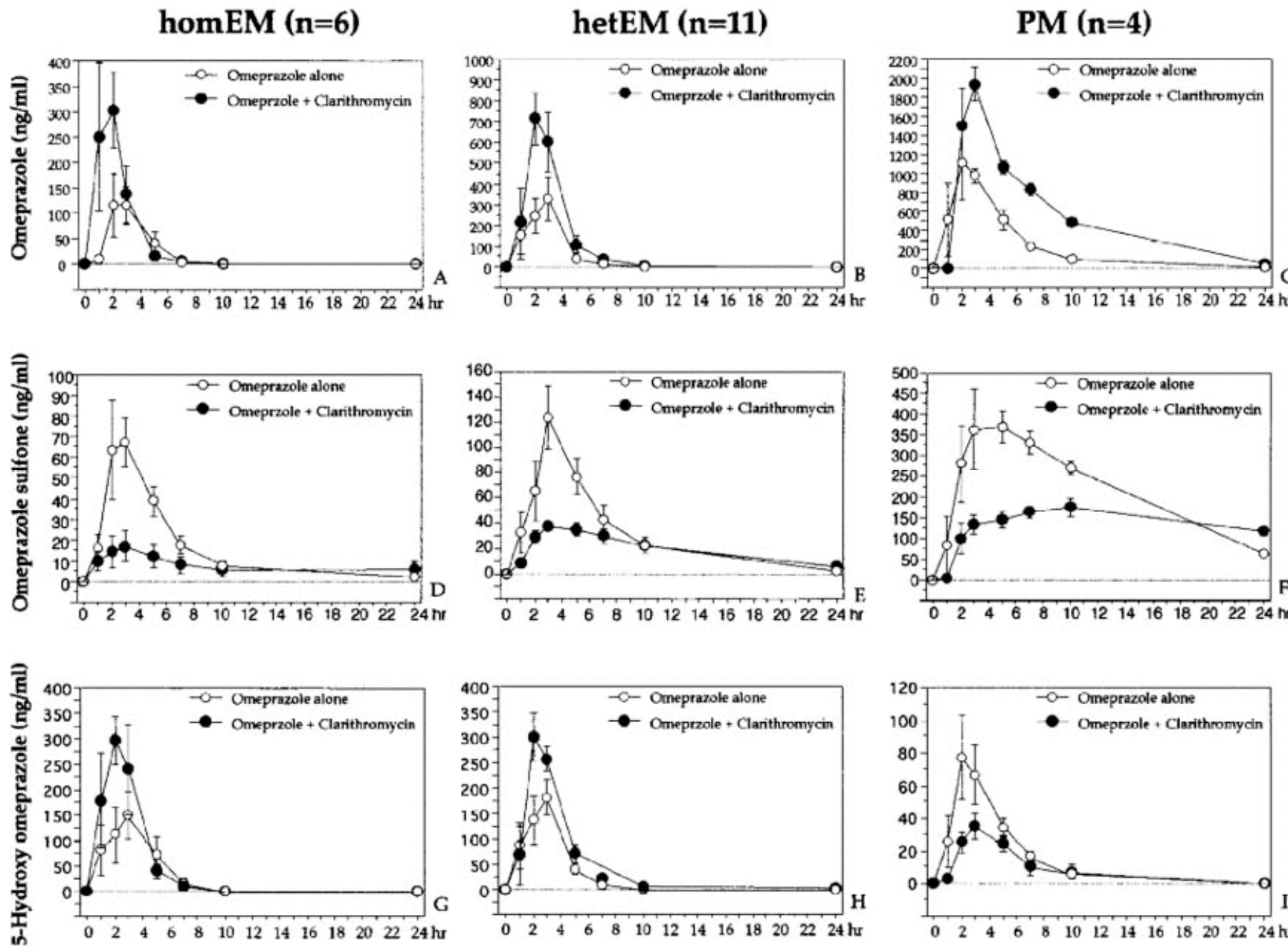
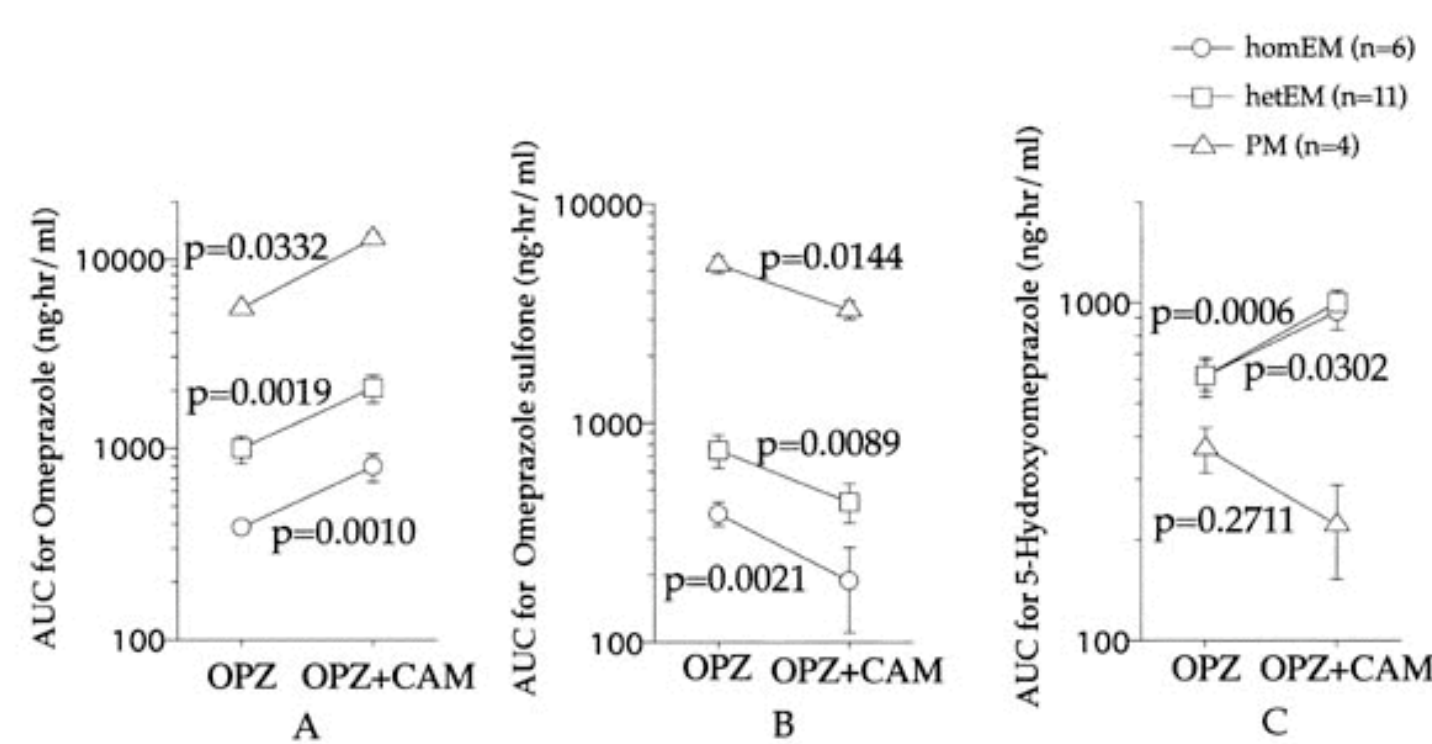


Fig. 2. Effects of clarithromycin on mean area under the plasma concentration–time curves from 0 to 24 hours (AUC) for omeprazole (**A**), omeprazole sulfone (**B**), and 5-hydroxyomeprazole (**C**) as a function of CYP2C19 genotype status. AUC values for omeprazole were significantly increased by clarithromycin in the three different genotype groups, whereas AUC values for omeprazole sulfone were significantly decreased by clarithromycin in the three different genotype groups. AUC values for 5-hydroxyomeprazole were significantly increased by clarithromycin in the homozygous extensive metabolizer (homEM) and heterozygous extensive metabolizer (hetEM) group, whereas that in the poor metabolizer (PM) group was decreased by clarithromycin (but not significantly).





| CYP2C19 | AUC for omeprazole (ng · h/mL) | | AUC for omeprazole sulfone (ng · h/mL) | | AUC for 5-hydroxyomeprazole (ng · h/mL) | |
|--|-----------------------------------|--------------------------------|---|--------------------------------|--|--------------------------------|
| | Omeprazole + placebo | Omeprazole + clarithromycin | Omeprazole + placebo | Omeprazole + clarithromycin | Omeprazole + placebo | Omeprazole + clarithromycin |
| Homozygous extensive metabolizers (n = 6) | 383.9 ± 26.3 | 813.1 ± 141.8 | 385.9 ± 47.9 | 188.6 ± 77.6 | 606.4 ± 81.1 | 946.0 ± 105.3 |
| Heterozygous extensive metabolizers (n = 11) | 1,001.9 ± 160.3 | 2,110.4 ± 351.9 | 756.6 ± 133.6 | 435.3 ± 90.6 | 613.03 ± 62.2 | 1,016.8 ± 76.0 |
| Poor metabolizers (n = 4) | 5,589.7 ± 146.8 | 13,098.6 ± 512.7 | 5,245.7 ± 487.8 | 3,304.2 ± 342.4 | 370.5 ± 59.6 | 220.5 ± 69.5 |
| P Values | <.0001* | <.0001† | <.0001‡ | <.0001§ | .1075 | <.0001¶ |

AUC, Area under the plasma concentration–time curve from 0 to 24 hours.

P Values of post hoc test by Scheffe's multiple comparison test are as follows: *P = .0298, P < .0001, and P < .0001; †P = .0566, P < .0001, and P < .0001; ‡P = .3936, P < .0001, and P < .0001; §P = .4422, P < .0001, and P < .0001; ||P = .9975, P = .1929, and P = .1252; ¶P = .8446, P = .0007, and P < .0001 (homozygous extensive metabolizer versus heterozygous extensive metabolizer, homozygous extensive metabolizer versus poor metabolizer, and heterozygous extensive metabolizer versus poor metabolizer, respectively).

Fig. 3. Mean \pm SE plasma concentration–time curves of clarithromycin (**A**) and 14-(*R*)-hydroxyclarithromycin (**B**) and AUC values for clarithromycin (**C**) and 14-(*R*)-hydroxyclarithromycin (**D**) in the three different genotype groups. Significant differences in plasma clarithromycin levels were observed among the three different CYP2C19 genotype groups.

